

E0270 TECHNOLOGIE A NÁSTROJE OCHRANY ŽIVOTNÍHO PROSTŘEDÍ

Technologie pro zajištění čistoty ovzduší I

RNDr. Mgr. Michal Bittner, Ph.D.

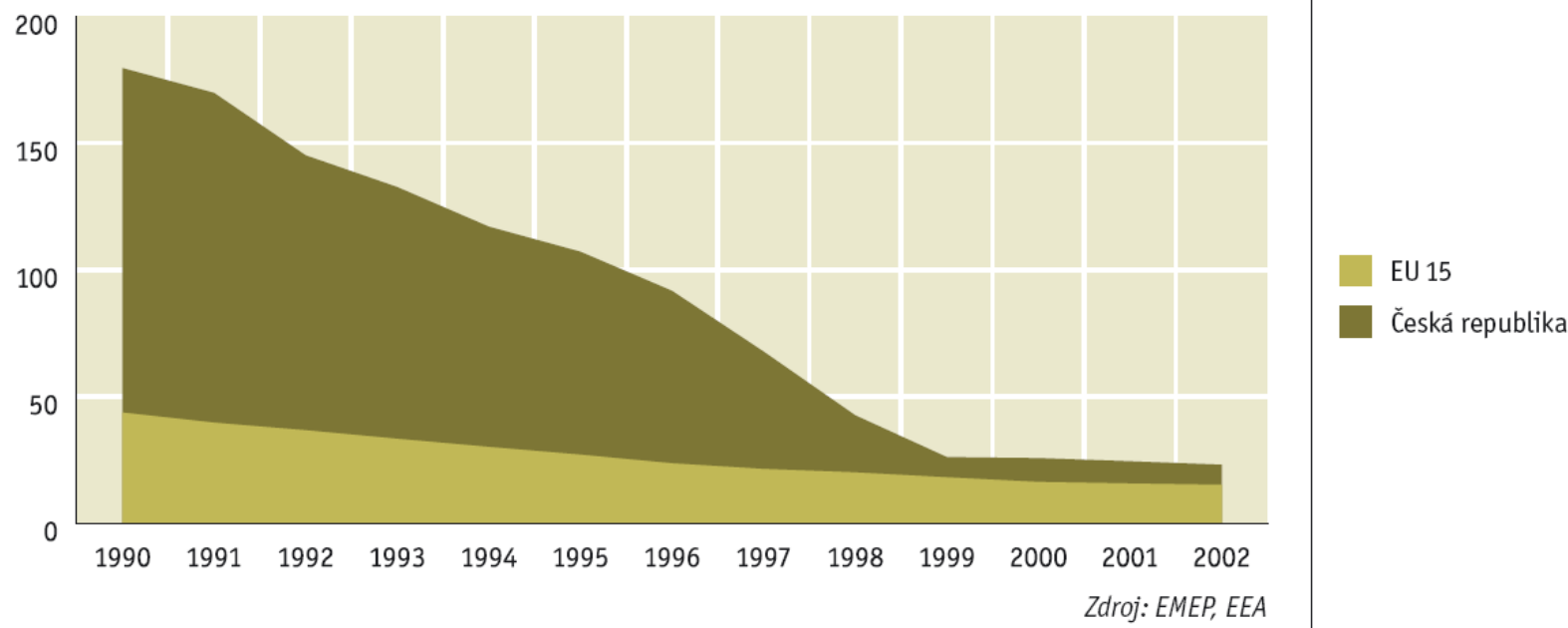
Vývoj stavu životního prostředí v ČR 1990 – 2004

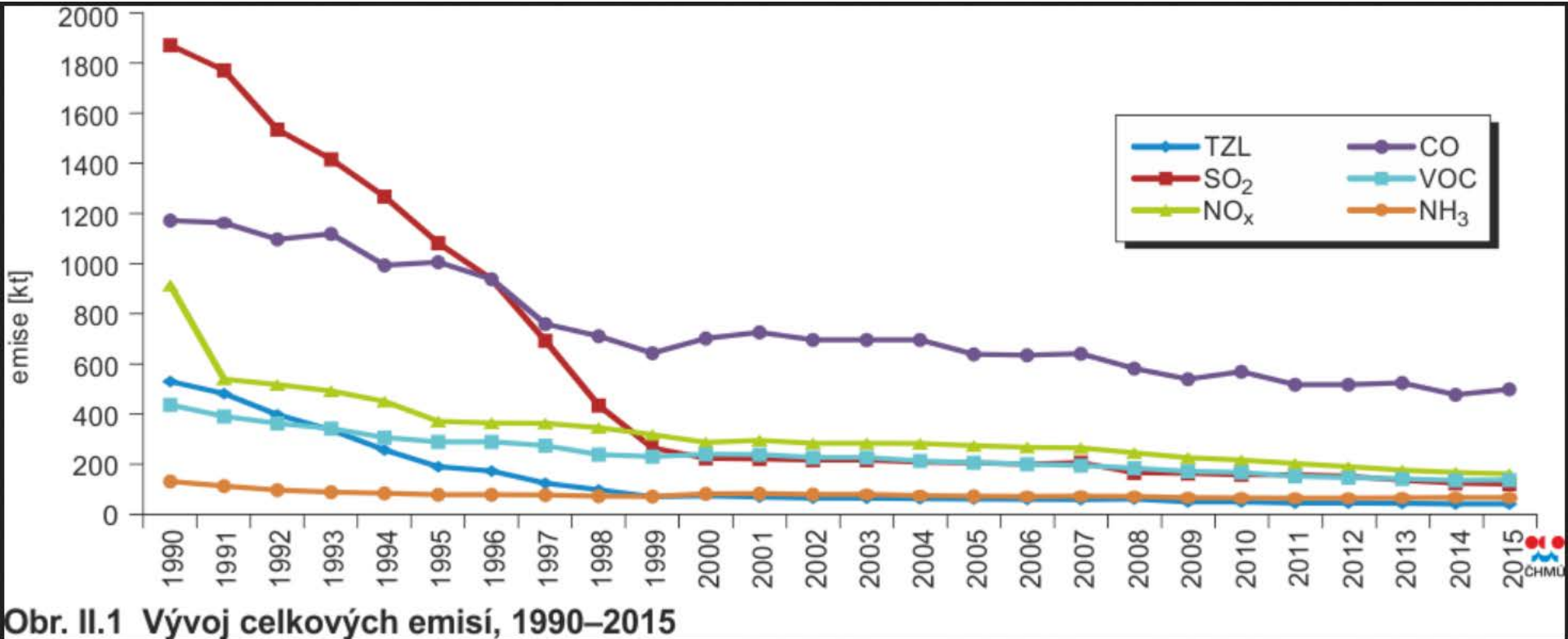
Ovzduší

- Znečištění ovzduší bylo v roce 1990 objektivně i subjektivně nejpříčivějším problémem ŽP
- Významné zdravotní problémy (především SČ) a poškození ŽP

Trend měrných emisí SO_2 (v kg/os.rok) v České republice a v EU 15 v letech 1990–2002

Graf 4.3

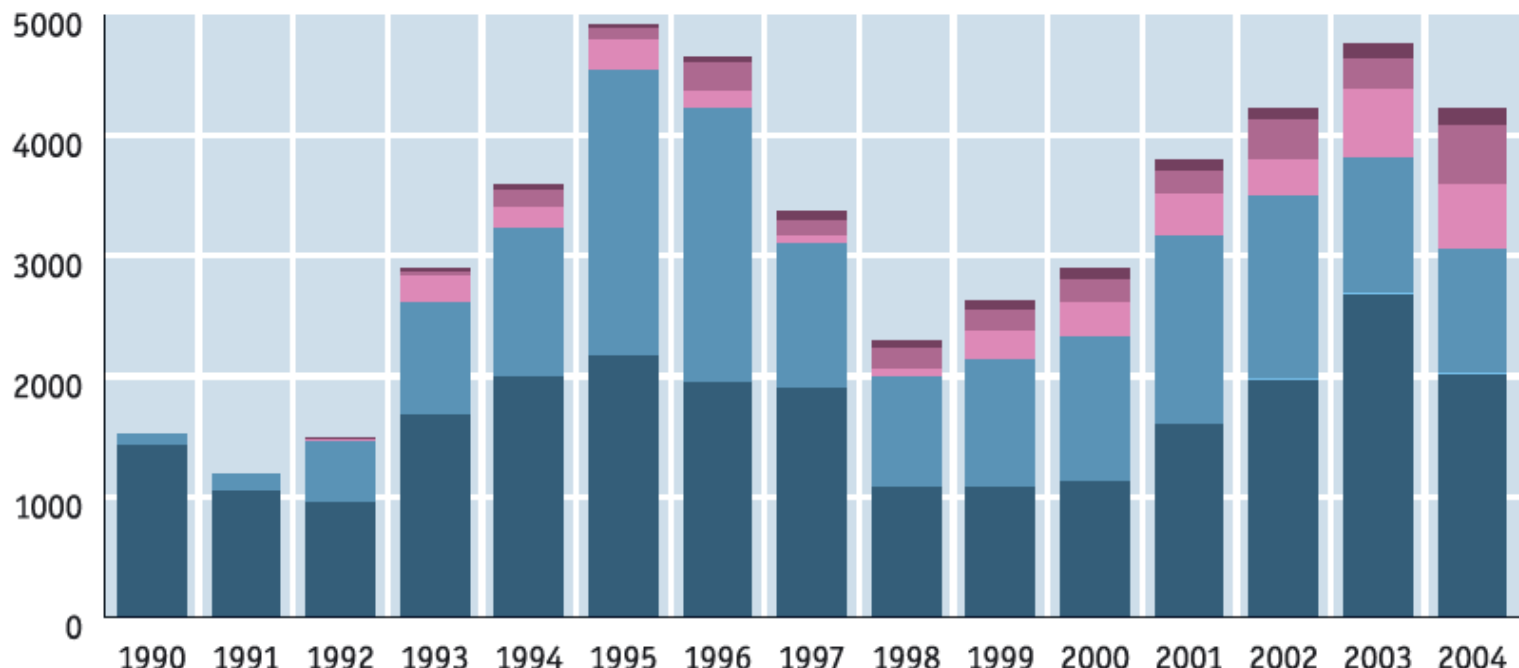




Obr. II.1 Vývoj celkových emisií, 1990–2015

Graf 5.4

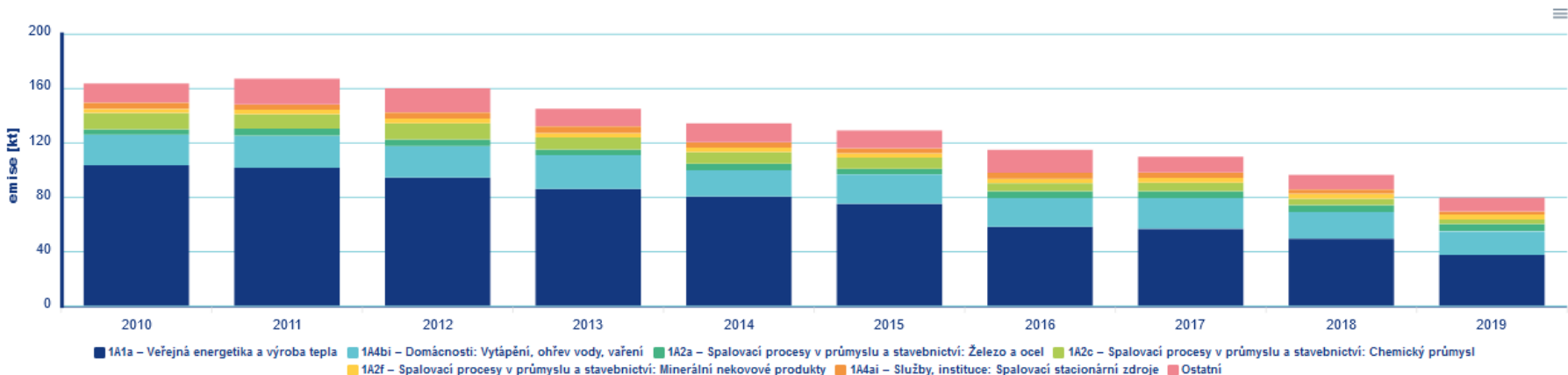
Výdaje SFŽP podle složek životního prostředí (v mil. Kč)



Zdroj: SFŽP



Obr. IV.7.9 Podíl sektorů NFR na celkových emisích SO_x, 2019



Obr. IV.7.10 Celkové emise SO_x, 2010–2019

Europoslanci schválili nové limity na látky znečišťující ovzduší

24.11.2016 18:54

Ambiciozní plán na zavedení národních stropů týkající se emisí a látok znečišťujúcich ovzduší do roku 2030, včetně oxidu dusíku (NOx), pevných polétavých častic a oxidu siřičitého, získal při středečním hlasování podporu poslanců Evropského parlamentu. Nové limity byly již neformálně dohodnuté během nizozemského předsednictví v Radě EU. Znečištění ovzduší způsobuje ročně zhruba 400 tisíc předčasných úmrtí v EU.

Emisní limity pro Českou republiku

Pro Českou republiku byly stanoveny závazky k procentuálnímu snížení emisí oxidu siřičitého (SO_2), oxidu dusíku (NO_x) a nemethanových těkavých organických sloučenin (NMVOC) tak, že se za výchozí rok považuje rok 2005. Pokud jde o silniční dopravu, použijí se emise vypočítané na základě prodaných paliv.

- **Závazek ke snížení emisí oxidu siřičitého (SO_2) oproti roku 2005:**
 - 45 % (pro jakýkoli rok od r. 2020 do r. 2029),
 - 66 % (pro jakýkoli rok od r. 2030).
- **Závazek ke snížení emisí oxidu dusíku (NO_x) oproti roku 2005:**
 - 35 % (pro jakýkoli rok od r. 2020 do r. 2029),
 - 64 % (pro jakýkoli rok od r. 2030).
- **Závazek ke snížení emisí nemethanových těkavých organických sloučenin (NMVOC) oproti roku 2005:**
 - 18 % (pro jakýkoli rok od r. 2020 do r. 2029),
 - 50 % (pro jakýkoli rok od r. 2030).
- **Závazek ke snížení emisí amoniaku (NH_3) oproti roku 2005:**
 - 7 % (pro jakýkoli rok od r. 2020 do r. 2029),
 - 22 % (pro jakýkoli rok od r. 2030).
- **Závazek ke snížení emisí jemných častic ($PM_{2,5}$) oproti roku 2005:**
 - 17 % (pro jakýkoli rok od r. 2020 do r. 2029),
 - 60 % (pro jakýkoli rok od r. 2030).

Zvláště velké spalovací zdroje

Spalovací zdroje, resp. zdroje spalování paliv se v České republice podle zákona č. 86/2002 Sb. v platném znění zařazují podle tepelného příkonu nebo výkonu do těchto kategorií:

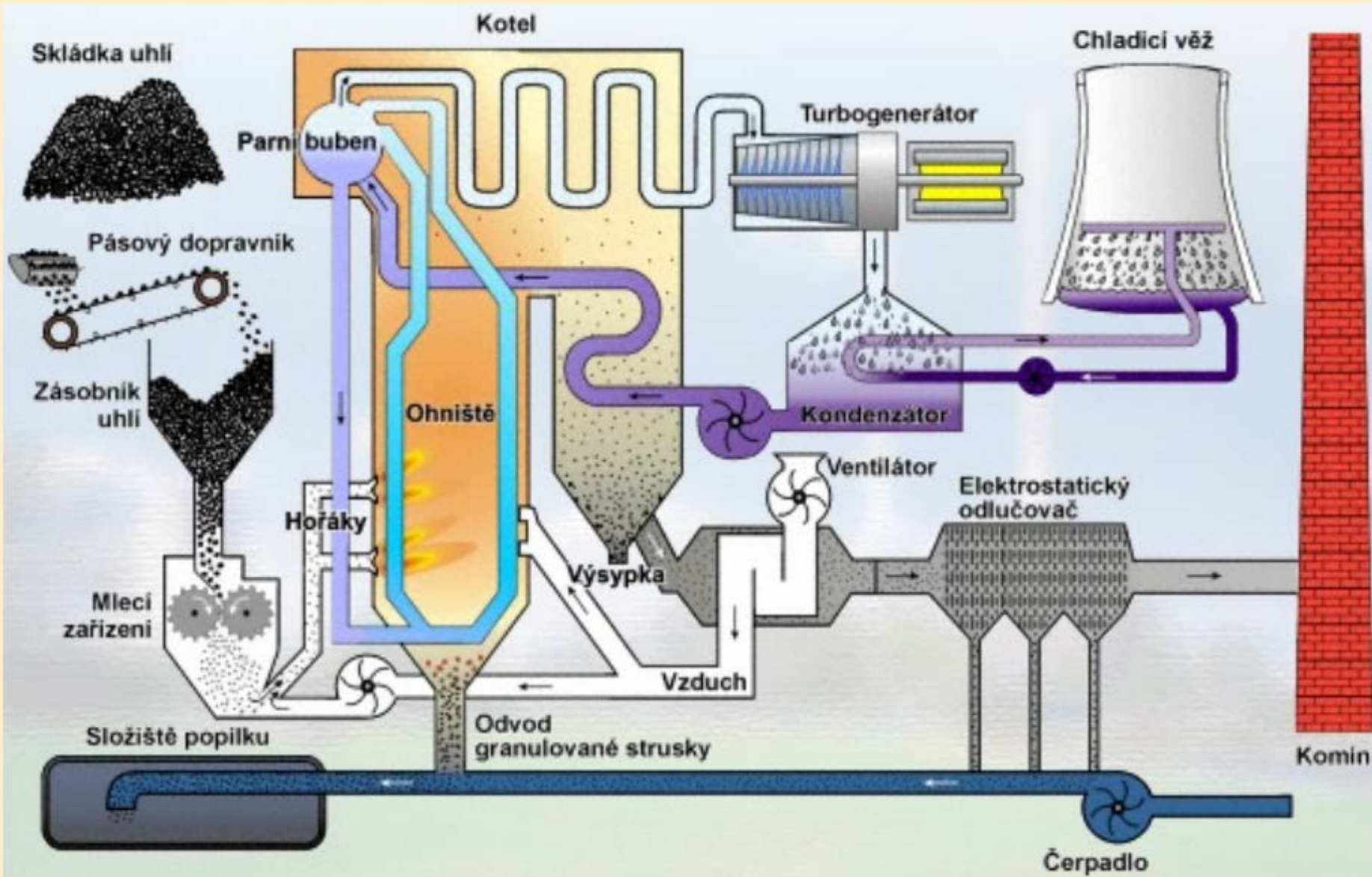
- zvláště velké spalovací zdroje, kterými jsou zdroje znečišťování o jmenovitém tepelném příkonu 50 MW a vyšším bez přihlédnutí ke jmenovitému tepelnému výkonu;
- velké spalovací zdroje, kterými jsou zdroje znečišťování o jmenovitém tepelném výkonu vyšším než 5 MW do 50 MW nespadající do kategorie zvláště velkých spalovacích zdrojů;
- střední spalovací zdroje, kterými jsou zdroje znečišťování o jmenovitém tepelném výkonu od 0,2 MW do 5 MW včetně;
- malé spalovací zdroje, tj. zdroje znečišťování o jmenovitém tepelném výkonu < 0,2 MW.

Pro zařazení do kategorií se příkony nebo výkony jednotlivých zařízení (kotlů) ve zdroji sčítají.

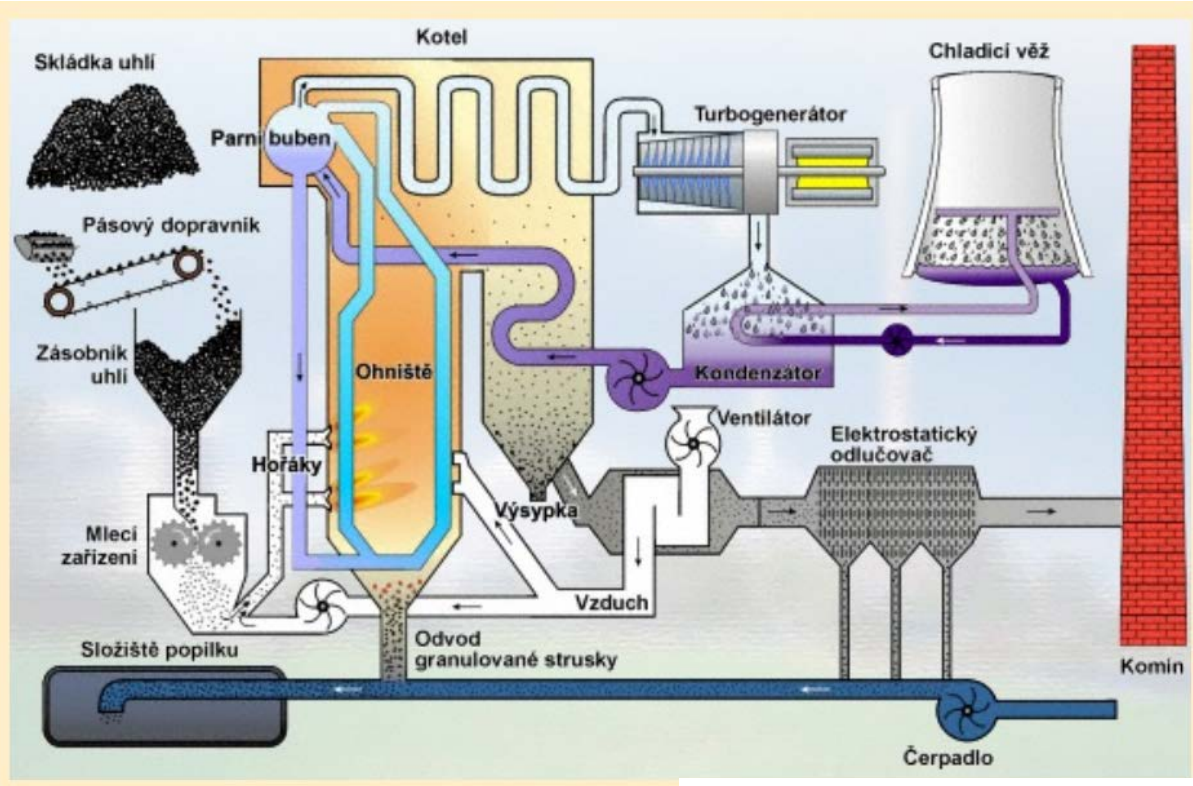
Zvláště velké spalovací zdroje - tepelná elektrárna



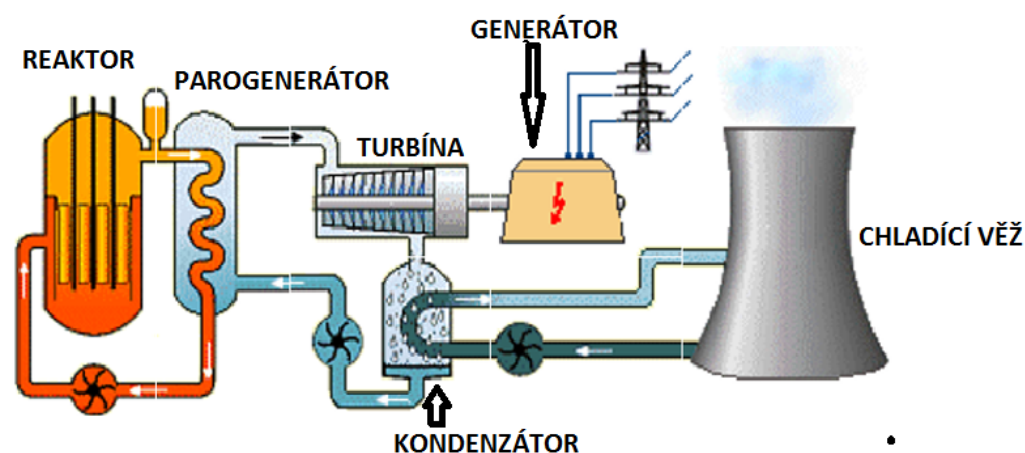
Zvláště velké spalovací zdroje



Zvláště velké spalovací zdroje



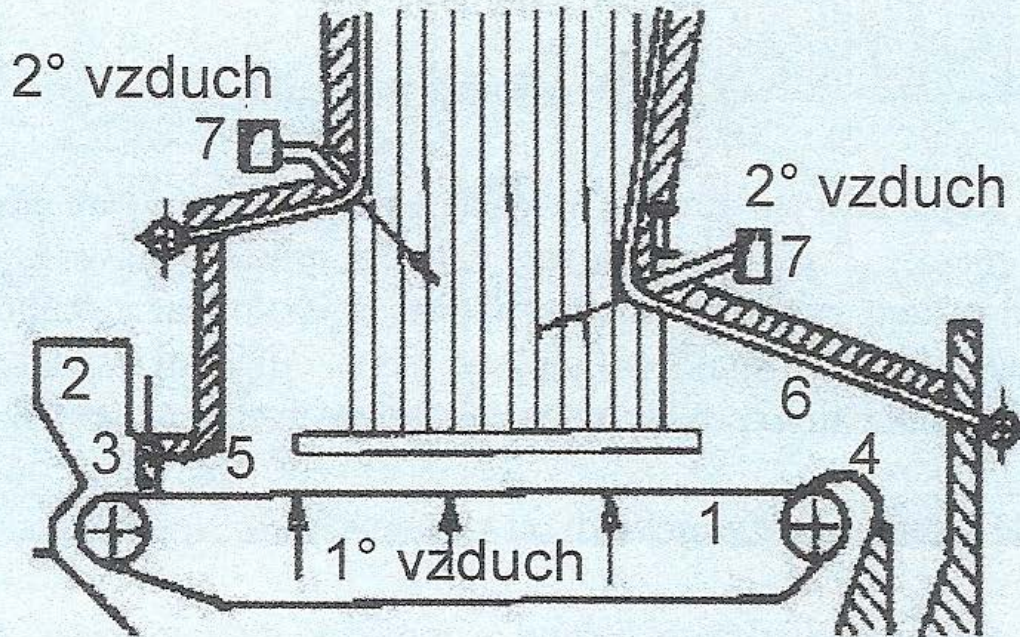
Uhelná E



Jaderná E

Topeniště – s pásovým roštěm

Schéma topeniště s pásovým roštěm. Údaje na obrázku označené: 1 – rošt; 2 – násypka; 3 – hradítko; 4 – jízek; 5 a 6 – přední a zadní klenba; 7 – sekundární vzduch.



Topeniště – s pásovým roštěm



RUSHAS Mini Traveling Grate - A Small Boiler Stoker for efficient boiler House!

39 517 zhlédnutí • 18. 6. 2020

409

NELÍBÍ SE

SDÍLET

KLIP

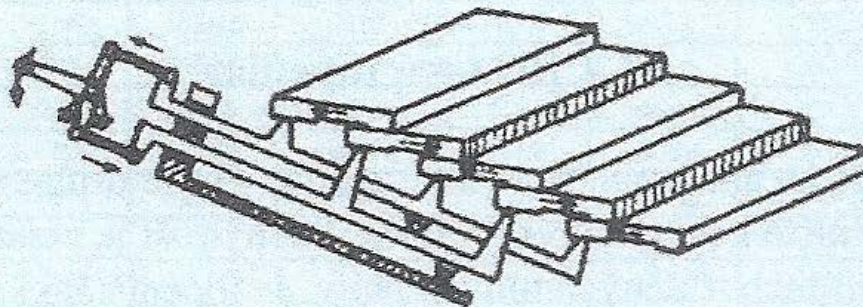
ULOŽIT

POPIS

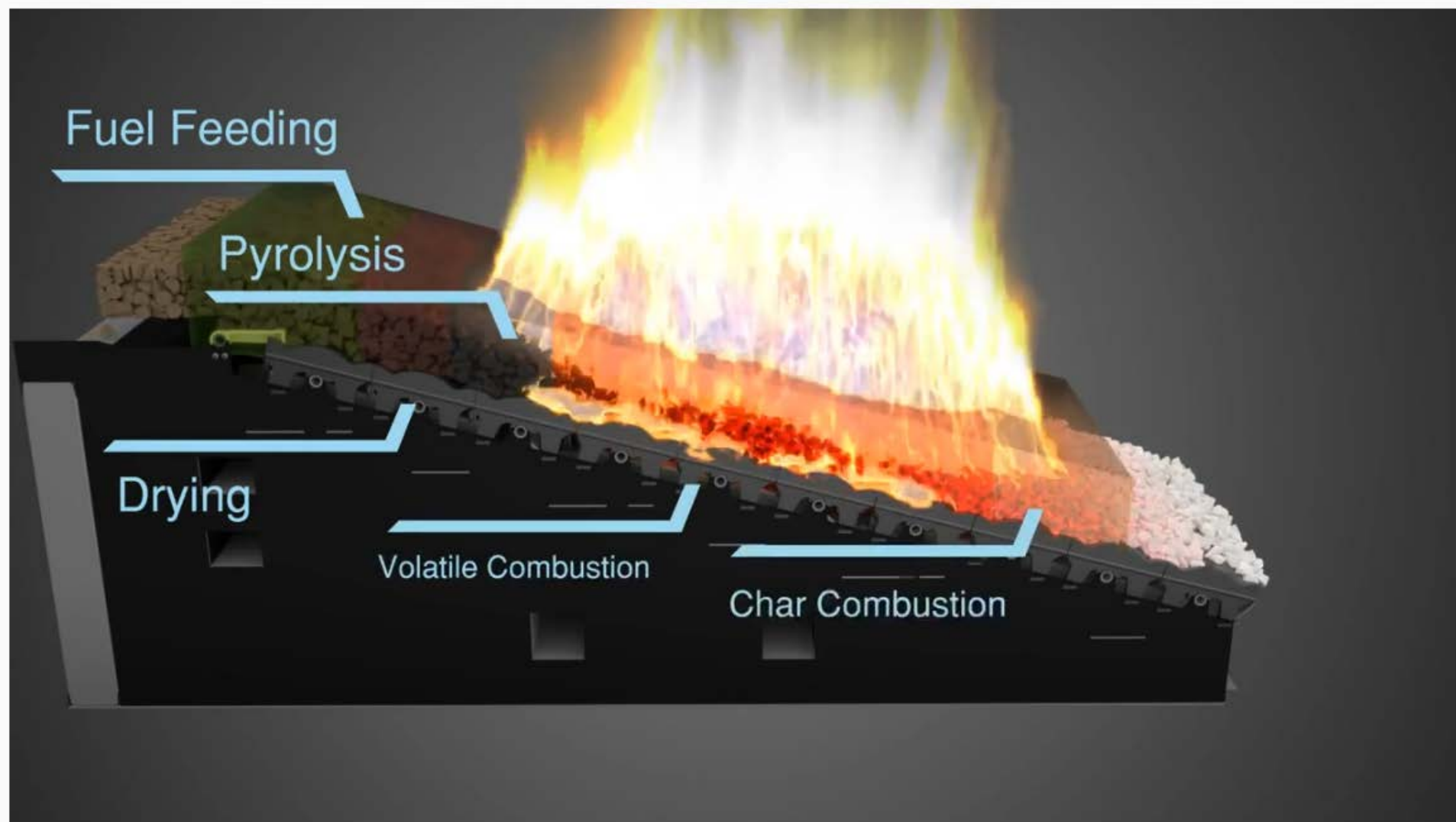
...

Topeniště – přesuvný rošt

Schéma přesuvného roštu.



Topeniště – přesuvný rošt



Reciprocating Grate / Step Grate Operation Introduction

8 900 zhlédnutí • 10. 9. 2021

107

NELÍBÍ SE

SDÍLET

KLIP

ULOŽIT

POPIΣ

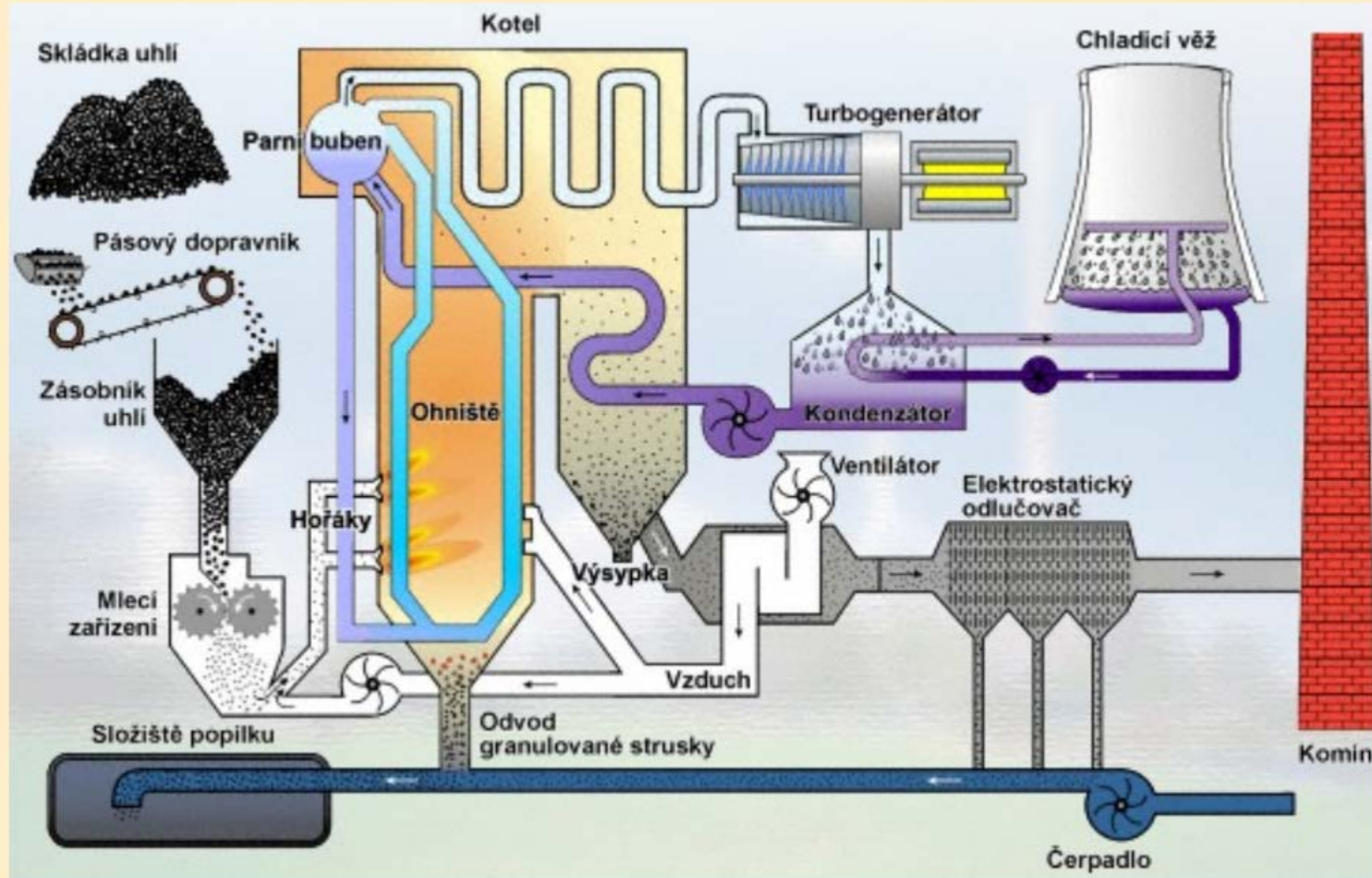
...

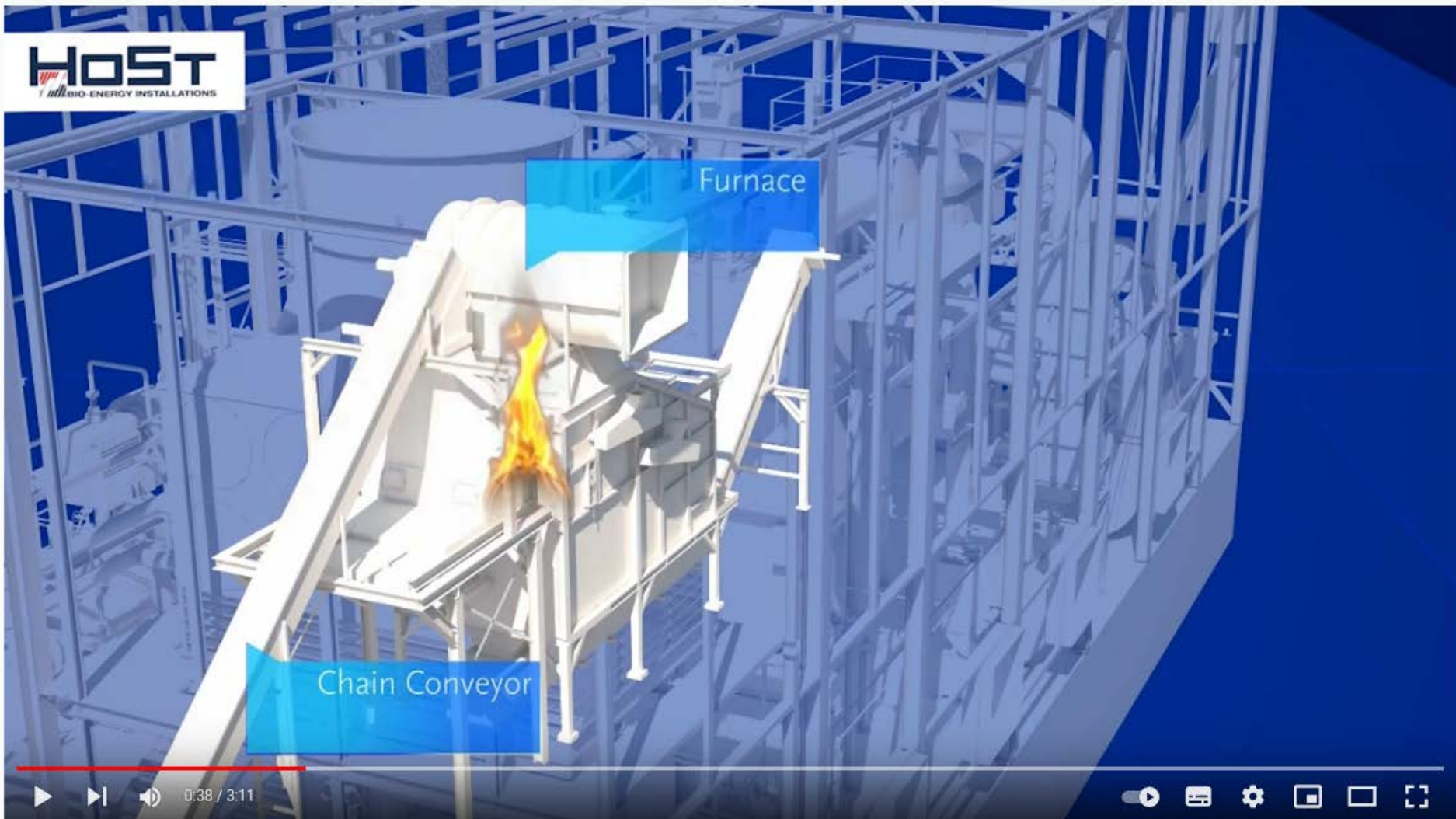
Topeniště – prášková topeniště

Varinty práškových topenišť.

| | |
|------------|--|
| Granulační | Spalování prášku probíhá při poměrně nízkých teplotách v ohništi, takže popeloviny odcházejí z topeniště v tuhému stavu. V okamžiku spálení se ovšem částečka paliva zahřeje krátkodobě na vysokou teplotu, takže popeloviny se roztaží a vlivem povrchového napětí vytvoří kuličky (granule). Ty vlivem chladnějšího okolního prostředí rychle zchladnou a ztuhnou. |
| Tavičí | Je vývojově mladším typem topeniště vzniklým ve snaze zvětšit intenzitu spalování zvýšením teploty v topeništi, takže popeloviny opouštějí ohniště v tekutém stavu. |

Topeniště – práškový topeniště





▶ ▶ ⏪ 0:38 / 3:11

▢ 🔍 ⚙ ☰

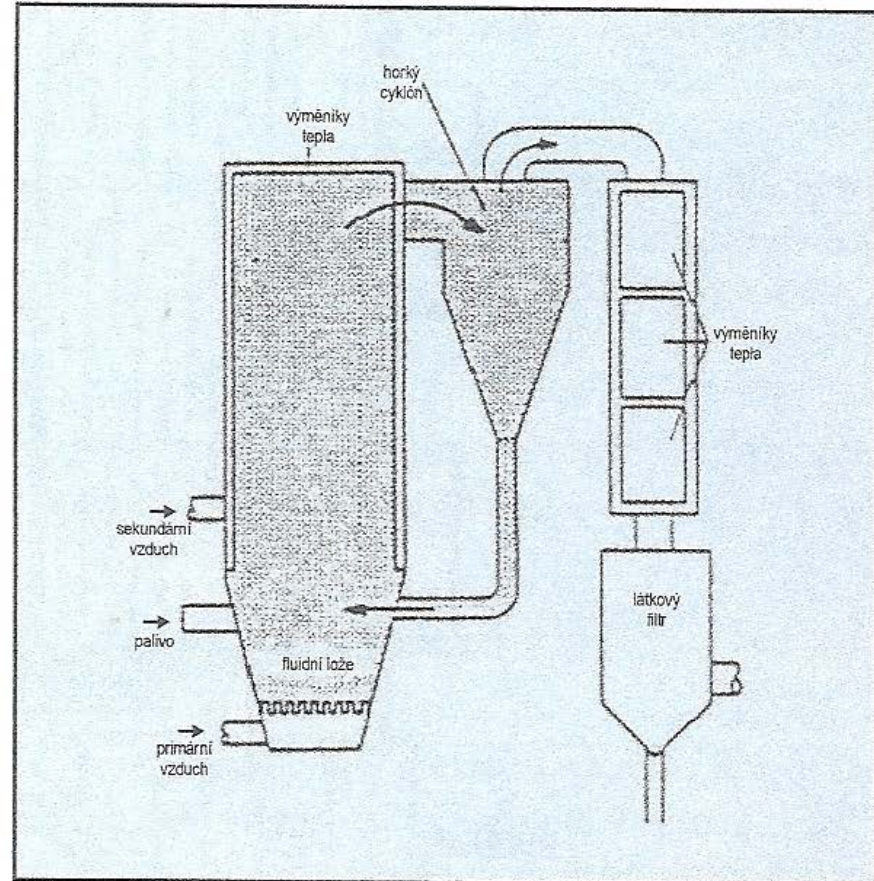
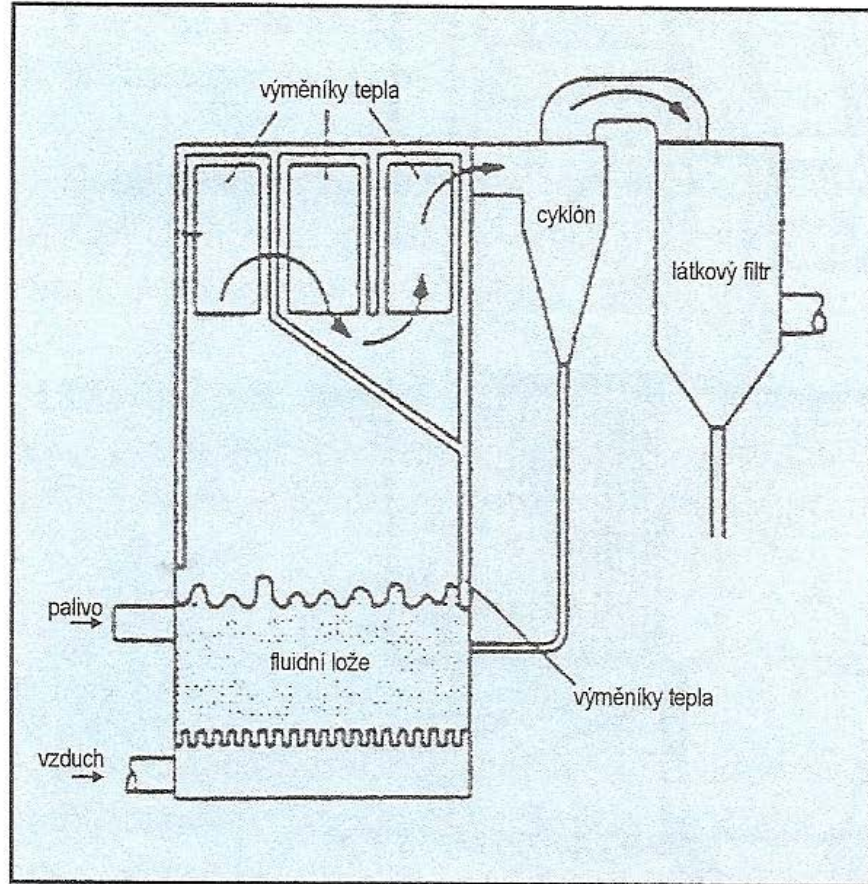
How Does a Biomass Boiler Plant Work? | HoSt Bioenergy Systems

9 434 zhlédnutí • 14. 1. 2021

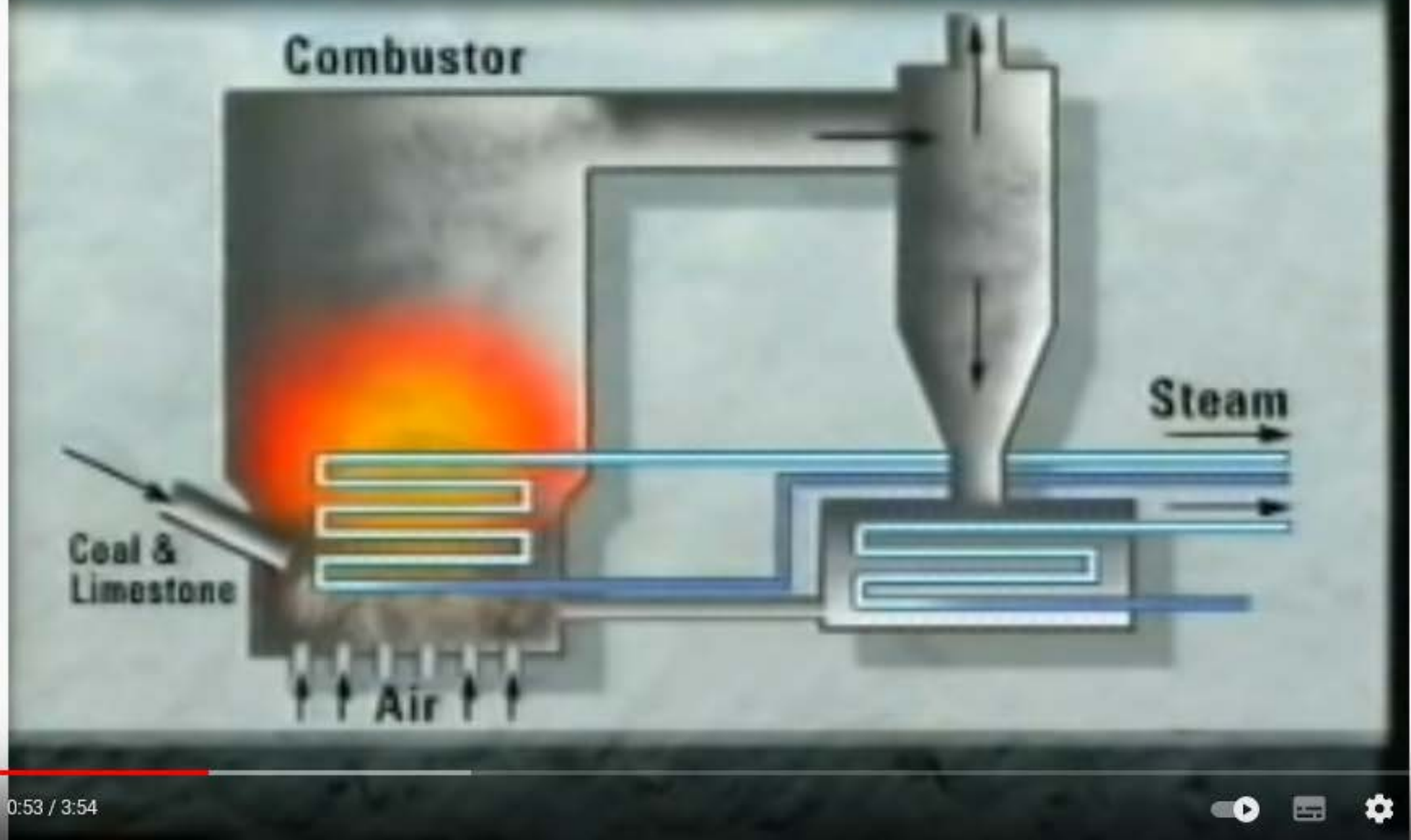
like 113 dislike NELÍBÍ SE share SDÍLET clip KLIP save ULOŽIT info POPIS ...

Topeniště – fluidní topeniště

Vlevo (obr. č. 28) – schéma vířícího fluidního lože a vpravo (obr. č. 29) – schéma fluidního kotle s cirkulujícím fluidním ložem.



Circulating Fluidised Bed Combustion



0:53 / 3:54



UNITED KINGDOM

Fluidised bed technology: Generating options for tomorrow

295 330 zhlédnutí • 9. 1. 2012

1 TIS.

NELÍBÍ SE

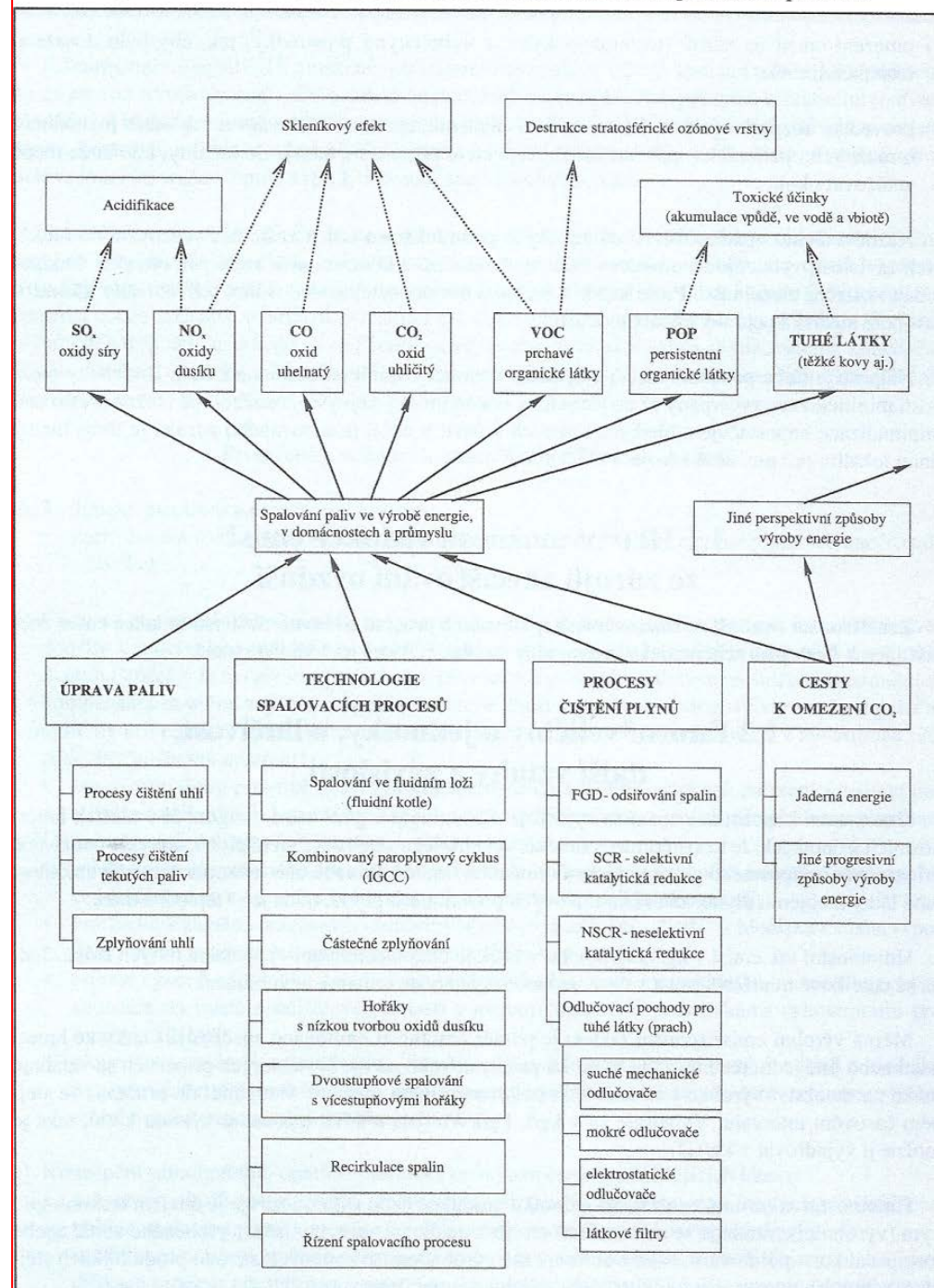
SDÍLET

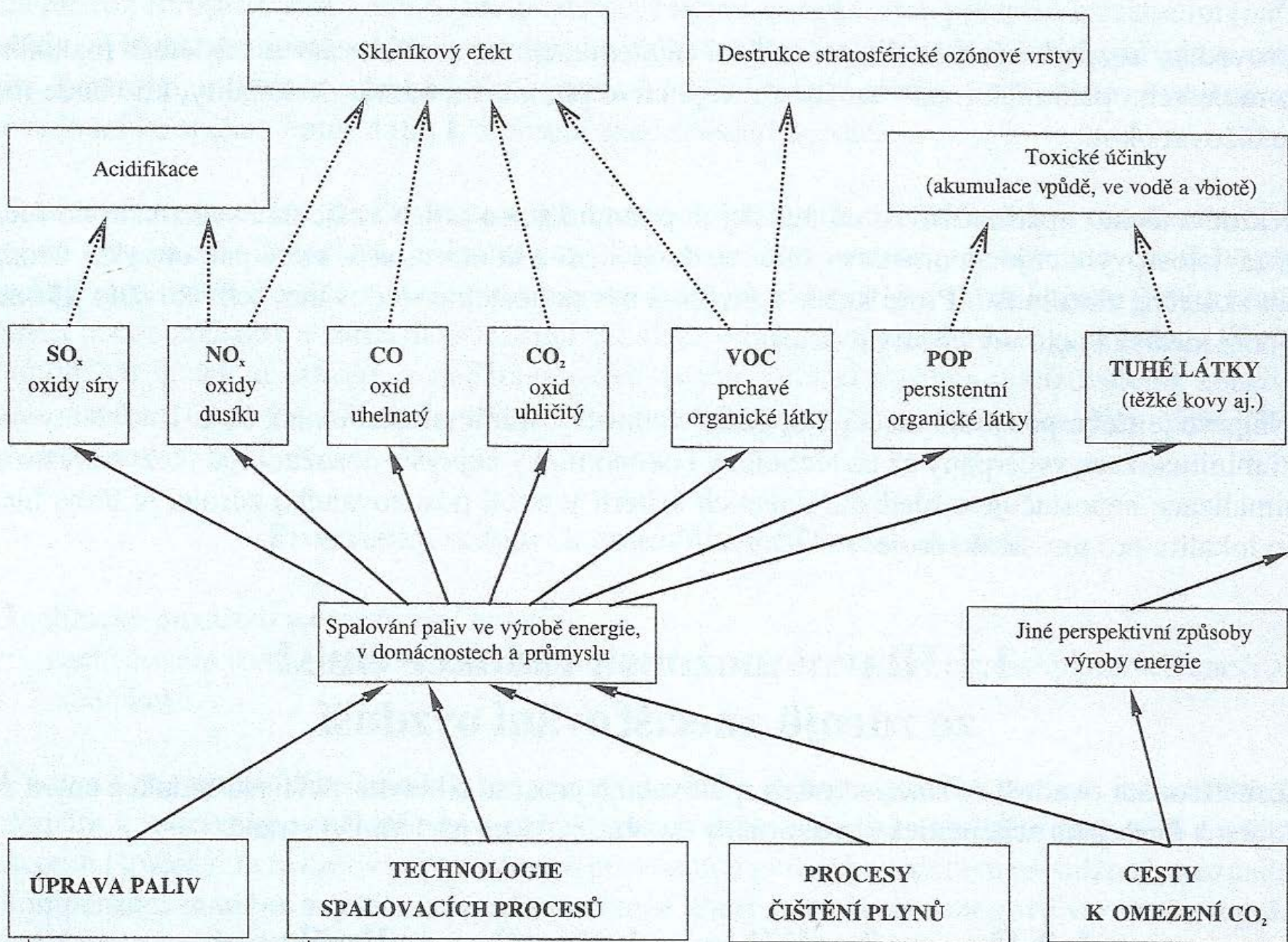
KLIP

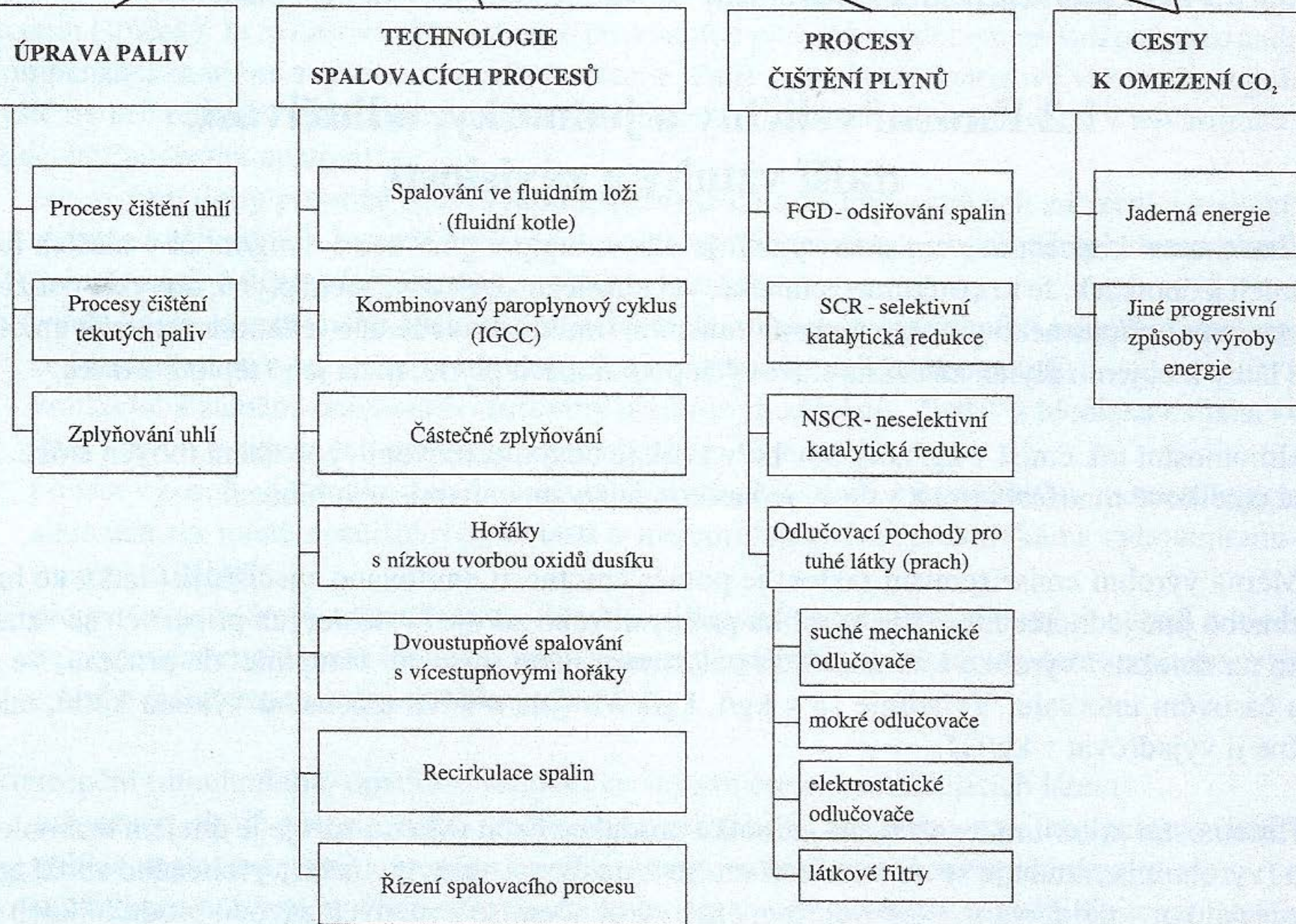
ULOŽIT

Možnosti snižování emisí znečišťujících látek ze stacionárních spalovacích procesů

Hlavní možnosti redukce emisí znečišťujících látek ze stacionárních spalovacích procesů.







Objemy a vlastnosti zpracovávaných plynů

- ↳ Spaliny z jednotky 200 MW
- ↳ $V \sim 1 - 1,2 \text{ mil. m}^3 \cdot \text{h}^{-1}$ plynu
- $T \sim 130 - 180 \text{ }^\circ\text{C}$
- ↳ Vysoká vlhkost!
- ↳ Značný obsah tuhých příměsí!
- ↳ Vysoká korozivost spalin $\text{SO}_2, \text{SO}_3 \xrightarrow{\text{red arrow}} \text{H}_2\text{SO}_4 (80\%) !$

Nízká koncentrace odstraňované složky

Problémy s účinností:

- ↳ $\text{SO}_2 - 0,1' \%$ obj.
- ↳ $\text{NO}_x - 100' - 1\,000' \text{ ppm}$
- ↳ (s) - $10' - 100' \text{ g.m}^{-3}$ (za odlučovačem - $10' - 100' \text{ mg.m}^{-3}$)

Základní charakteristika

- ↳ extrémní rozměry zařízení
- ↳ vysoké nároky na korozní odolnost všech komponent
- ↳ vysoké pořizovací i provozní náklady
- ↳ technologie ekonomicky ztrátová (zvýšení ceny energie)

Desulfurace

Metody snižování emisí oxidů síry

Administrativní – normy, atd.

Technická

- (1) snižování obsahu S v palivech
- (2) zplyňování paliv s následným zachycením sulfanu
- (3) desulfurace (odsiřování) spalin

(2), (3) - technicky reálné

(3) - aplikována v širokém měřítku

Odsiřování spalin

- Dělení metod podle hlediska **regenerace činidla**:
 - metody **regenerativní** - aktivní látka cirkuluje mezi absorpcí a regenerací
 - metody **neregenerativní** - aktivní látka po reakci s SO_2 opouští proces jako produkt odsíření
- Dělení podle hlediska **fáze**:
 - **suché** metody - během procesu neklesá T pod rosný bod vody (i metody katalytické)
 - **polosuché** metody
 - **mokré** metody - spaliny přichází do kontaktu s vodním roztokem nebo suspenzí aktivní látky
- Dělení podle hlediska **místa procesu odsiřování**:
 - odsiřování **přímo v kotli**
 - odsiřování **za kotlem**

Procesy desulfurace

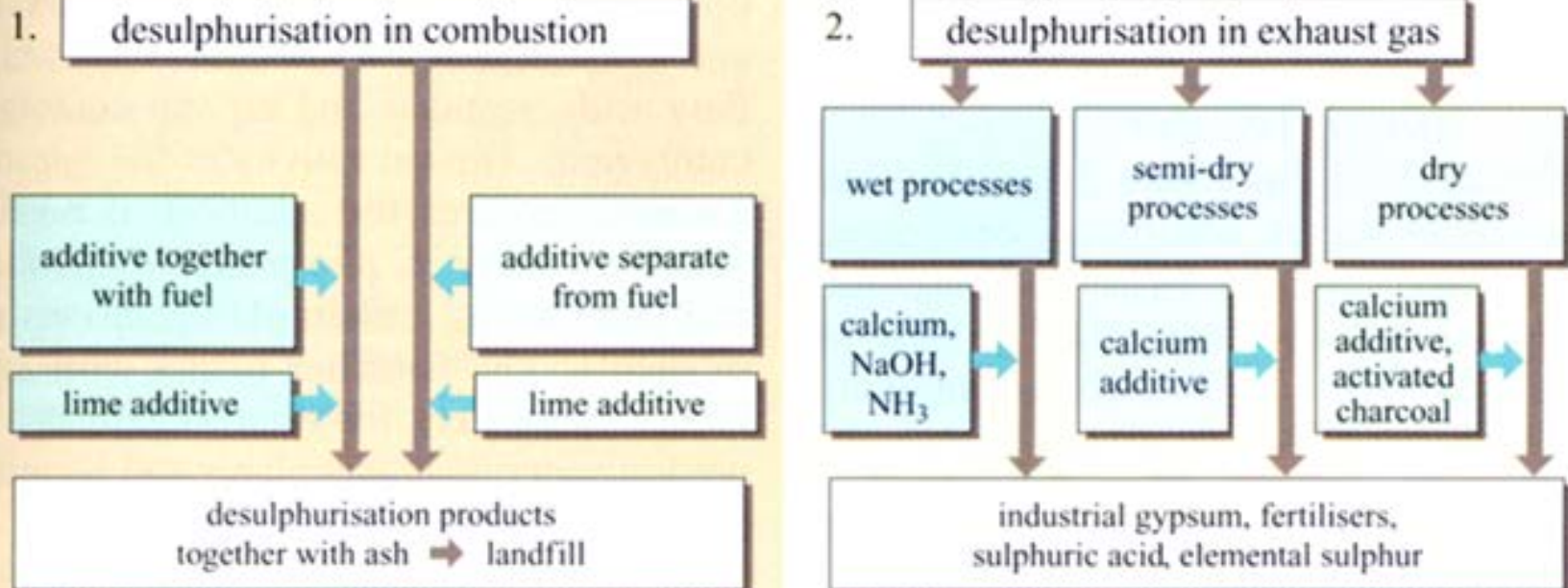


Figure 2.5.7 Desulphurisation processes

Odsířování spalin

Výhody:

Suché:

- ↳ vysoká teplota spalin (není nutné je předehřívat za účelem rozptylu do atmosféry)
- ↳ malá investiční náročnost (řádově menší proti mokrým)

Mokré:

- ↳ jednoznačně převažují (vysoká účinnost, využitelný produkt...)

Nevýhody:

Suché:

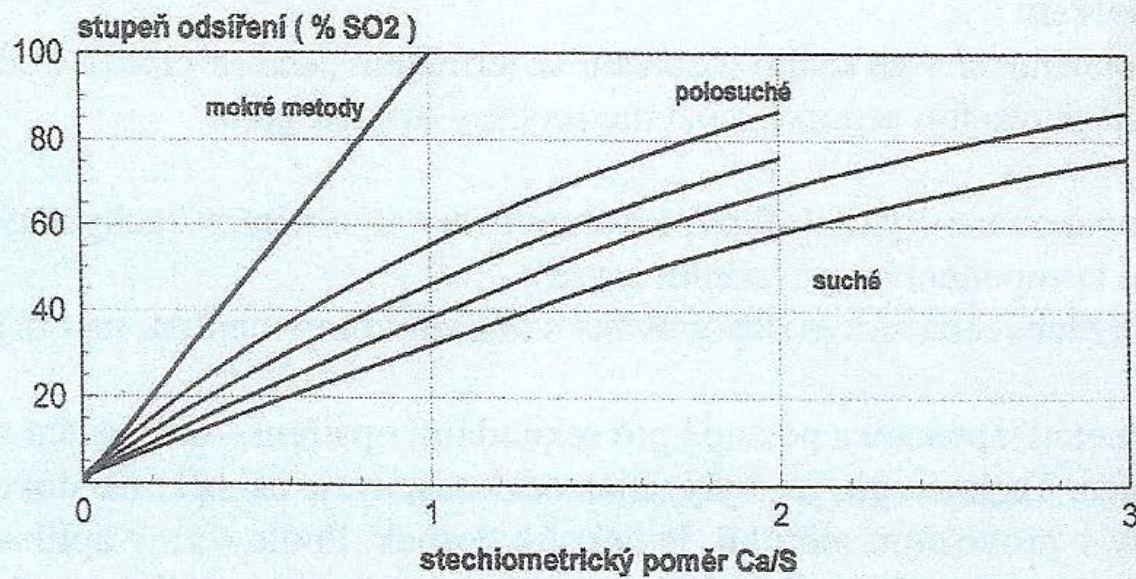
- ↳ malá účinnost
- ↳ problémy s produktem odsíření

Mokré:

- ↳ vyšší investiční náklady
- ↳ nízká T odsířených spalin - nutnost přihřívání

Přehled technologií odsířování spalin

Účinnost odsíření v závislosti na poměru Ca/S.



Přehled technologií odsiřování spalin

Obecný přehled užívaných technologií podle způsobu záchytu oxidů síry. Údaje v tabulce označené: [1] Limestone Injection Multistage Burner; [2] Gas Reburning – Sorbent Injection.

| Typ | Princip | Příklad, název technologie |
|--------------------------|--|---|
| Metody aditivní | - injektáž vápna či vápence nad zónu plamene - injektáž ZP, vody a sek. vzduchu s aditivem - fluidní spalování uhlí s přídavkem CaCO_3 ve fluidní vrstvě - s cirkulující fluidní vrstvou | LIMB [1] GR – SI [2] |
| Polosuché a suché metody | - vstříkování aktivovaného vápna do spalin a následná filtrace tuhé fáze - rozprašovací sušárny | Niro-Atomizer Fläkt |
| Absorpční, mokré procesy | neregenerativní, zachycená síra je vázána v produktu procesu regenerativní, aktivní komponenta je regenerována pro opětovné použití | |
| Katalytické metody | katalytická oxidace SO_2 na SO_3 | Cat-ox Kyioura Chiyoda Haldor-Topsøe |
| Adsorpční procesy | regenerativní adsorpce např. na aktivním koksu a regenerace párou nebo horkým pískem | Bergbau – Forschung |

Odsiřování

Způsob odsíření z kotlů Skupiny ČEZ

| elektrárna | bloky | metoda odsiřování |
|------------------------|--|---|
| Elektrárna Dětmarovice | 4 x 200 MW | mokrá vápencová |
| Elektrárna Hodonín | 50 MW, 55 MW | fluidní spalování |
| Elektrárna Chvaletice | 4 x 200 MW | mokrá vápencová |
| Elektrárna Ledvice | 3 x 110 MW | 2 x polosuchá metoda 1 fluidní kotel |
| Elektrárna Mělník II | 2 x 110 MW | mokrá vápencová |
| Elektrárna Mělník III | 500 MW | mokrá vápencová |
| Elektrárna Počerady | 5 x 200 MW | mokrá vápencová |
| Elektrárna Poříčí II | 3 x 55 MW | fluidní spalování |
| Elektrárna Prunéřov I | 4 x 110 MW | mokrá vápencová |
| Elektrárna Prunéřov II | 5 x 210 MW | mokrá vápencová |
| Elektrárna Tisová I | 2 bloky pro 3 x 57 MW + 1 x 12,8 MW | fluidní spalování |
| Elektrárna Tisová II | 112 MW | mokrá vápencová |
| Elektrárna Tušimice II | 4 x 200 MW | mokrá vápencová |

Odsířování spalin

Parametry odsířovacího zařízení elektrárny Chvaletice

| | |
|---|--|
| počet a výkon odsířovaných bloků | 4 x 200 MW _e |
| počet absorbérů | 2 |
| objem spalin do jednoho absorbéru | 583 200 až 2 174 400 Nm ³ /h |
| obsah SO ₂ v nevyčištěných spalinách | 7 000 mg/Nm ³ |
| koncentrace popílku na vstupu do absorbéru | max. 200 mg/Nm ³ |
| obsah SO ₂ v čistých spalinách | garantováno 400, běžně do 200 mg/Nm ³ |
| koncentrace TZL v čistých spalinách | garantováno 50, běžně do 20 mg/Nm ³ |
| účinnost odsíření | 94,3 % a vyšší |

Mokrá vápencová vypírka

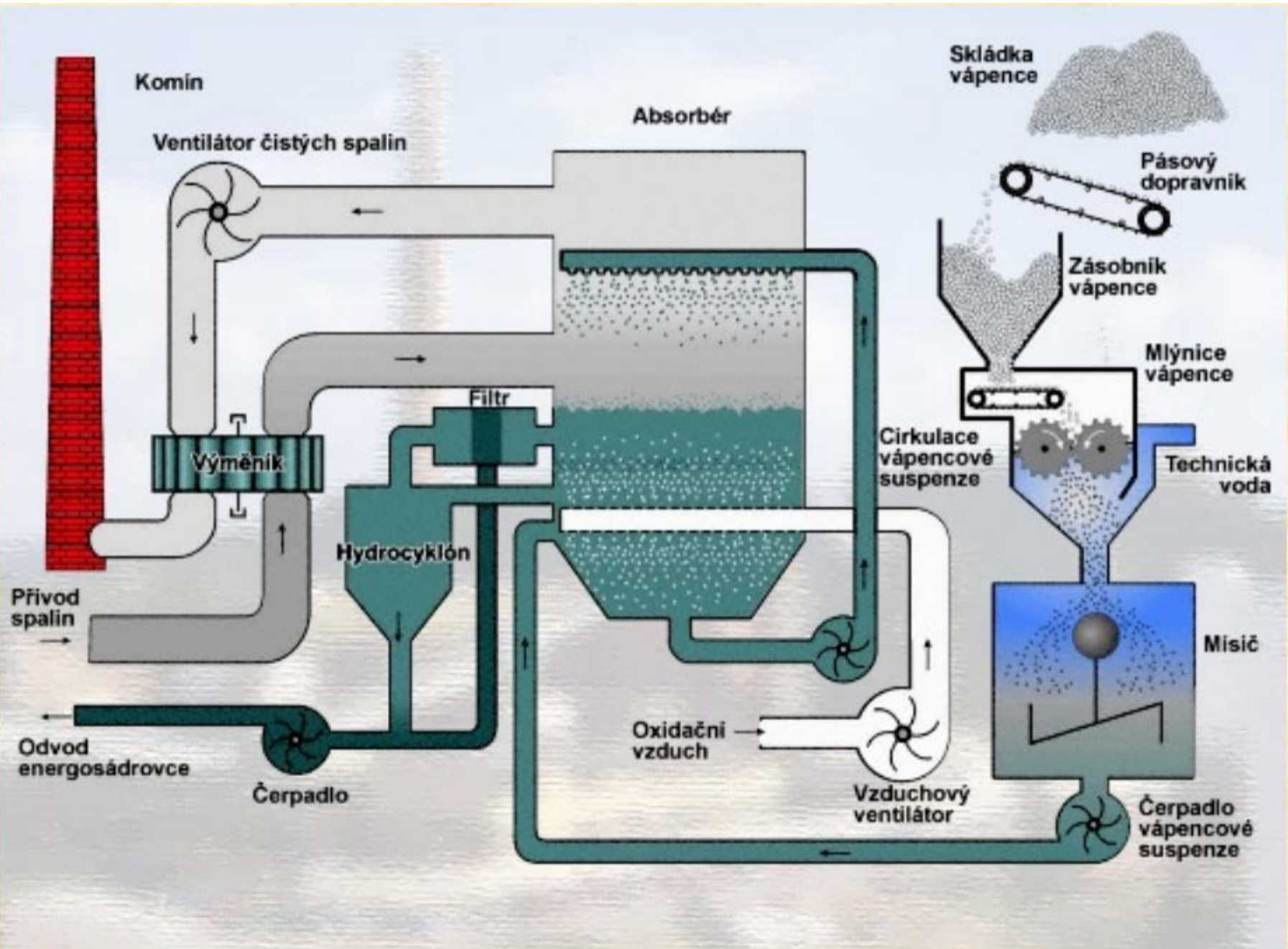
- V současnosti nejužívanější metoda při odsiřování velkých zdrojů
- Vývoj – rozdělení podle produktu
 - získávání využitelného energosádrovce $\text{CaSO}_4 \cdot 2\text{H}_2\text{O}$
 - získávání nevyužitelného kalu
- Sumární vyjádření procesu:
$$\text{SO}_2 + \text{CaCO}_3 + \frac{1}{2}\text{O}_2 + 2\text{H}_2\text{O} \rightarrow \text{CaSO}_4 \cdot 2\text{H}_2\text{O} + \text{CO}_2$$

Mokrá vápencová vypírka

- Účinnost odsiřování η_{SO_2} = 95 % a více při $a = CaCO_3 : SO_2 = 1,02$ až 1,07
- Účinné zachytávání HCl a HF s účinností nad 90 %
$$2 HCl + CaCO_3 \rightarrow CaCl_2 + CO_2 + H_2O$$
$$2 HF + CaCO_3 \rightarrow CaF_2 + CO_2 + H_2O$$

- Proces odsíření v absorbéru
- Spaliny nejdříve zbaveny popílku a ochlazený
- Nutná ochrana proti korozi

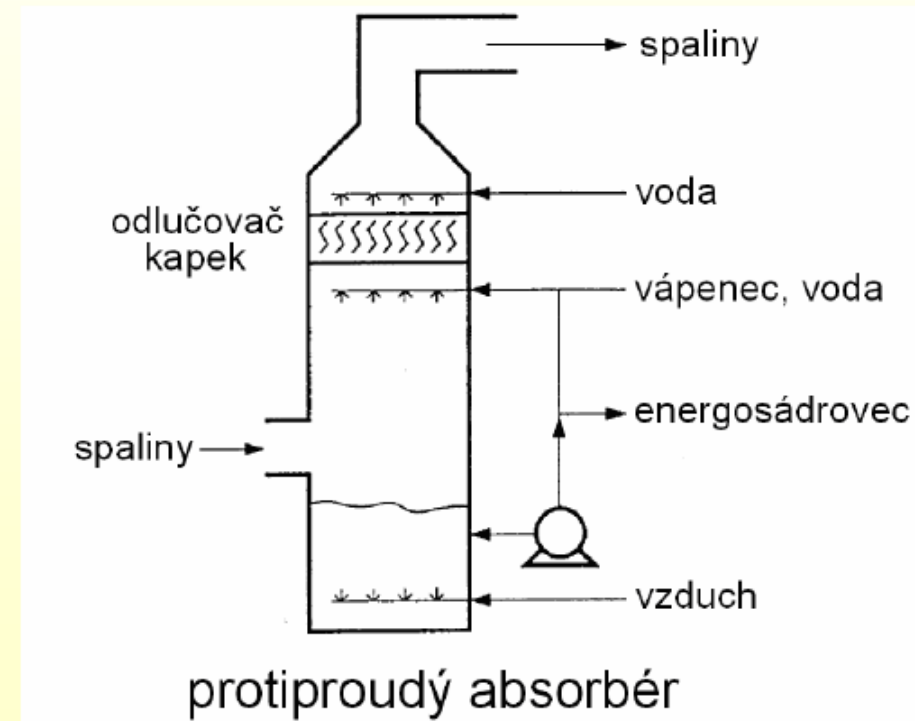
Mokrá vápencová vypírka

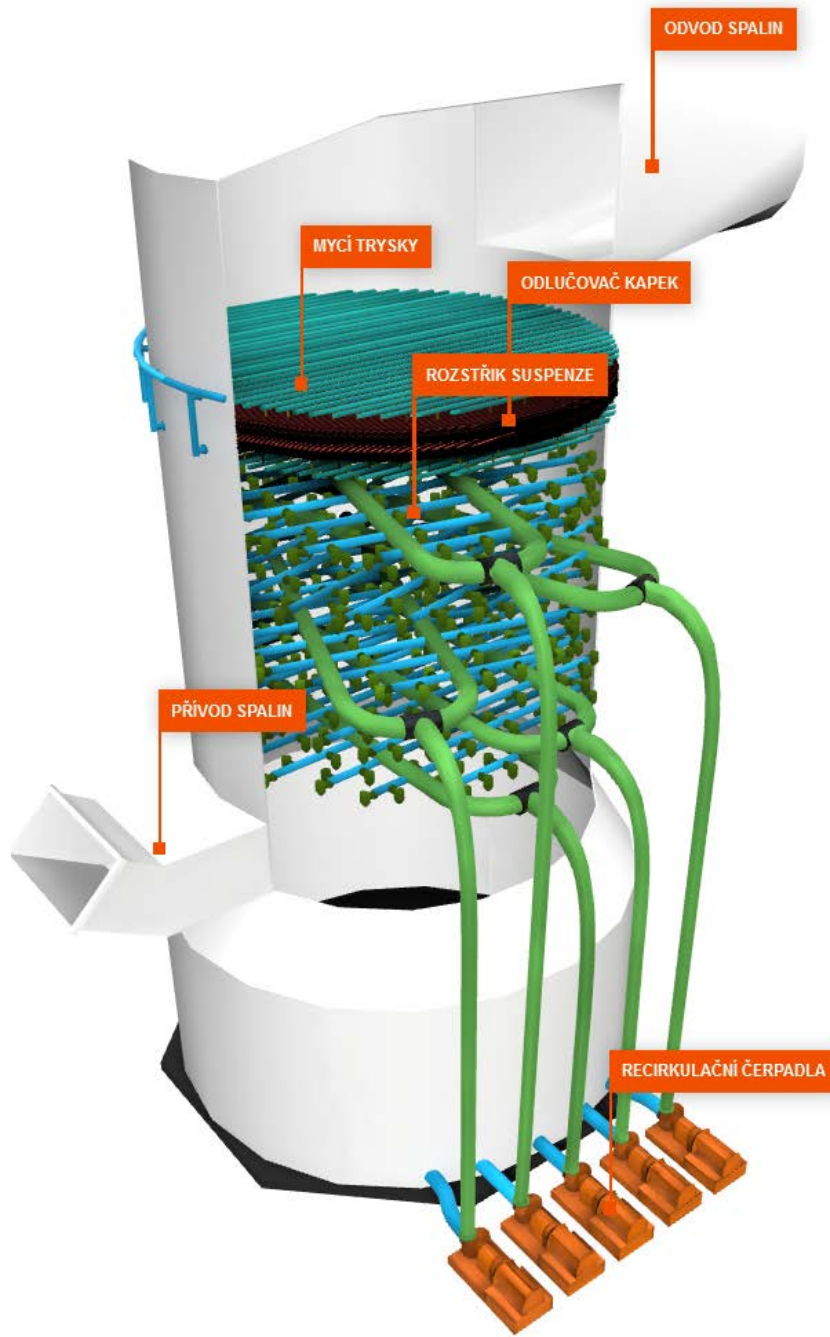


Mokrá vápencová vypírka

Protiproudý bezvýplňový absorbér

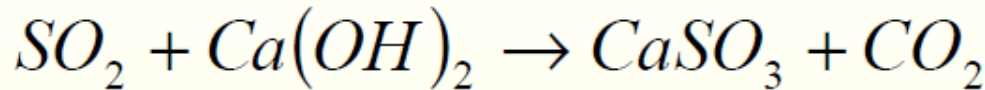
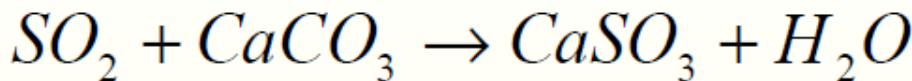
- Nejčastější
- Vstup spalin ve spodní části nad jímkou absorbéru
- Absorpční zóna
- $t_{opt} = 60^\circ\text{C}$, chlazení spalin
- Odlučovač kapek
- Jímka absorbéru
 - oxidační zóna
 - neutralizační zóna



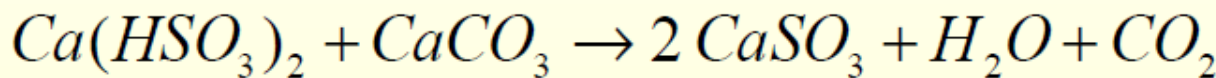
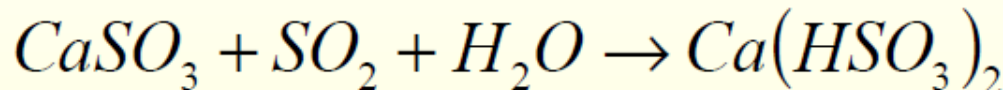


Mokrá vápencová vypírka

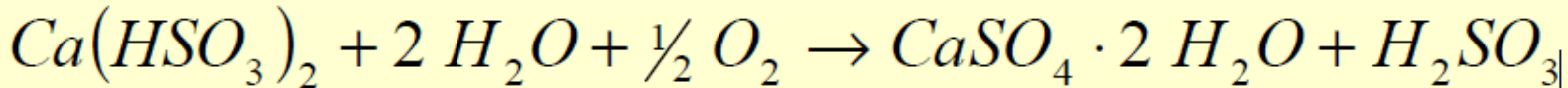
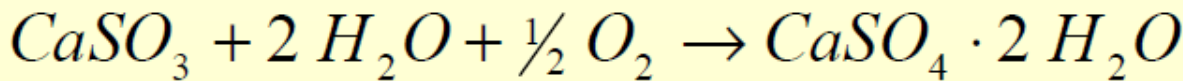
- SO_2 se vypírá vodní suspenzí uhličitanu vápenatého CaCO_3 , nebo vodní suspenzí vápna $\text{Ca}(\text{OH})_2$



- Další reakce CaSO_3



- Oxidace CaSO_3 a $\text{Ca}(\text{HSO}_3)_2$ při $\text{pH}_{\text{opt}} = 5$ až 6, při nižším pH vyšší tvorba úsad



Mokrá vápencová vypírka

- Produkt: energosádrovec $\text{CaSO}_4 \cdot 2\text{H}_2\text{O}$
- Odvod z jímky absorbéru → hydrocyklóny → pásové n. bubnové filtry → dosušení → příp. briketování
- Využití
- Výroba sádry $\text{CaSO}_4 \cdot \frac{1}{2}\text{H}_2\text{O}$
 - kalcinací
 - $$\text{CaSO}_4 \cdot 2 \text{H}_2\text{O} \leftrightarrow \text{CaSO}_4 \cdot \frac{1}{2} \text{H}_2\text{O} + \frac{3}{2} \text{H}_2\text{O}$$
 - využití ve stavebnictví

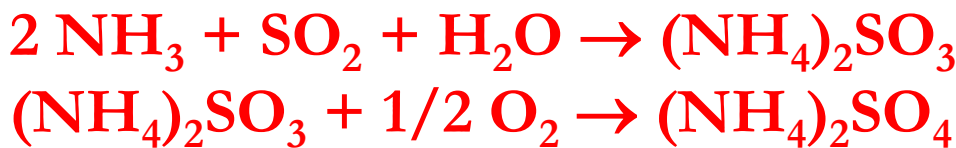
Přehled technologií odsířování spalin

Chemismus absorpcních procesů pro energetiku.

| Typ | Princip procesu | Název |
|--|--|---|
| vápníkové vypírky pH 8–10 $L/G = 2\text{--}8 \text{ l m}^{-3}$ $\text{CaO/S} = 1\text{--}1,25$ $\eta = 70\text{--}92 \%$ | vápno: $\text{SO}_2 + \text{Ca}(\text{OH})_2 \rightarrow \text{CaSO}_3 + \text{H}_2\text{O}$ vápenec: $\text{SO}_2 + \text{CaCO}_3 + \text{H}_2\text{O} \rightarrow \text{CaSO}_3 + \text{CO}_2 + \text{H}_2\text{O}$ $2 \text{CaSO}_3 + \text{O}_2 \rightarrow \text{CaSO}_4$ $\text{CaSO}_3 + \text{SO}_2 + \text{H}_2\text{O} \rightarrow \text{Ca}(\text{HSO}_3)_2$ $2 \text{Ca}(\text{HSO}_3)_2 + \text{O}_2 \rightarrow \text{CaSO}_4 + \text{H}_2\text{SO}_3$ | SHL Babcock MHI |
| hořčíkové vypírky pH 6–10 $L/G = 2\text{--}8 \text{ l m}^{-3}$ $\text{MgO/S} = 1\text{--}1,1$ $\eta = > 95 \%$ | $\text{MgO} + \text{H}_2\text{O} \rightarrow \text{Mg}(\text{OH})_2$ $\text{Mg}(\text{OH})_2 + \text{SO}_2 \rightarrow \text{MgSO}_3$, 6 nebo 3 H_2O $\text{MgSO}_3 \rightarrow \text{MgO} + \text{SO}_2$ $n \text{MgSO}_3 + \text{O}_2 \rightarrow \text{MgSO}_4$ $2 \text{MgSO}_4 + \text{C} \rightarrow 2 \text{MgO} + 2 \text{SO}_2 + \text{CO}_2$ $[\text{MgSO}_4 + \text{Ca}(\text{OH})_2 \rightarrow \text{CaSO}_4 + \text{Mg}(\text{OH})_2]$ * | CHEMICO NIOGAZ MHI Waagner-Biró * RCE |
| alkalické vypírky | $\text{SO}_2 + \text{Na}_2\text{SO}_3 + \text{H}_2\text{O} \rightarrow 2 \text{NaHSO}_3$ $2 \text{NaHSO}_3 \rightarrow \text{Na}_2\text{SO}_3 + \text{SO}_2 + \text{H}_2\text{O}$ $\text{NaHSO}_3 + \text{NaOH} \rightarrow \text{Na}_2\text{SO}_3 + \text{H}_2\text{O}$ $2 \text{Na}_2\text{SO}_3 + \text{O}_2 \rightarrow 2 \text{Na}_2\text{SO}_4$ | Wellman-Lord |
| | $\text{SO}_3^{2-} + \text{SO}_2 \rightarrow 2 \text{HSO}_3^-$ $\text{SO}_3^{2-} + 1/2 \text{O}_2 \rightarrow \text{SO}_4^{2-}$ $\text{OH}^- + \text{HSO}_3^- \rightarrow \text{SO}_3^{2-} + \text{H}_2\text{O}$ $\text{SO}_4^{2-} + \text{Ca}(\text{OH})_2 \rightarrow \text{CaSO}_4 + \text{H}_2\text{O}$ | dvojí alkálie GM Dowa Minning |
| | $4 \text{NH}_4\text{OH} + 2 \text{SO}_2 + \text{O}_2 \rightarrow 2 (\text{NH}_4)_2\text{SO}_4 + \text{H}_2\text{O}$ | Walther |

Čpavkový proces Walther

Mokrá amoniakální vypírka:



1. absorbér – dochlazení na 60 °C,

vyprání $(\text{NH}_4)_2\text{SO}_3$

2. absorbér – vyprání zbytku,
zachycení úletu

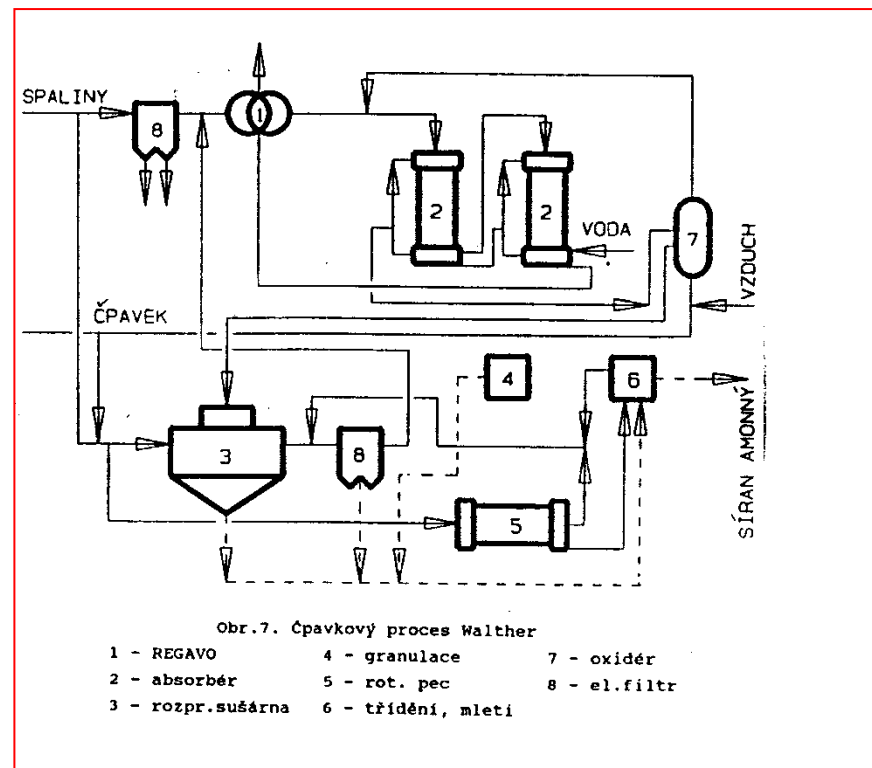
Spaliny – ohřev ve výměníku
komín

Absorbční roztok z 1. absorbéru ⇒
oxidér - oxidace na SO_4^{2-}
(vzduchem)

SO_4^{2-} ⇒ rozprašovací sušárna (350 °C)

Výhoda: malá energetická náročnost,
bezodpadovost

Nevýhoda: spotřeba NH_3 , zchlazení
spalin až na 30 °C



Obr.7. Čpavkový proces Walther

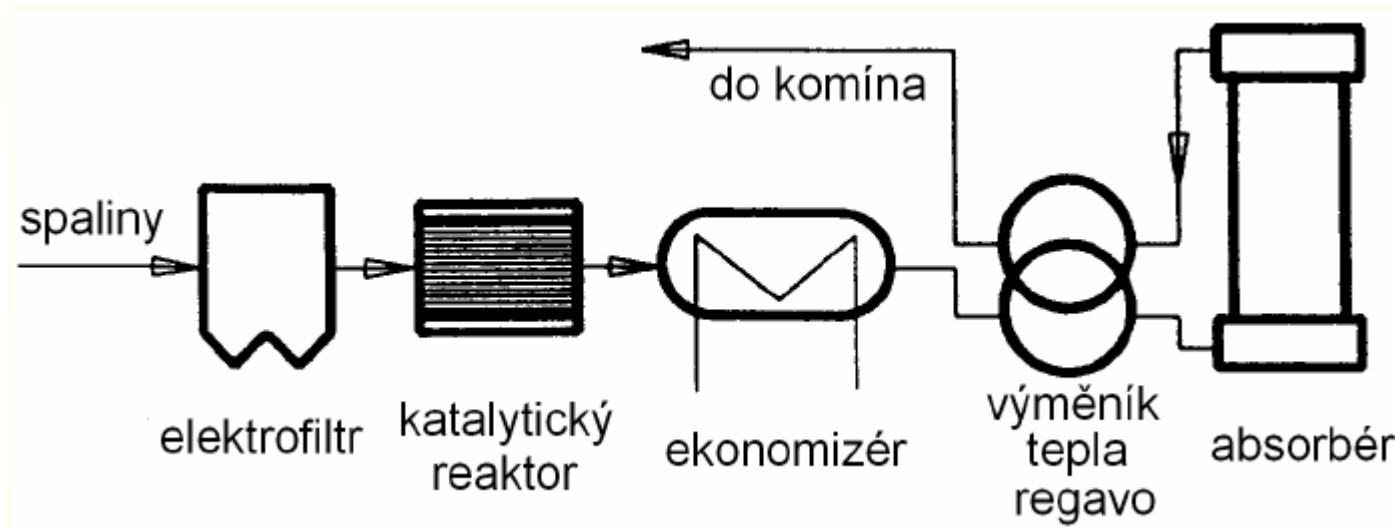
- | | | |
|-------------------|--------------------|--------------|
| 1 - REGAVO | 4 - granulace | 7 - oxidér |
| 2 - absorbér | 5 - rot. pec | 8 - el.filtr |
| 3 - rozpr.sušárna | 6 - třídění, mletí | |

Katalytické metody

Katalytická oxidace $\text{SO}_2 \Leftrightarrow \text{SO}_3$ na katalyzátoru V_2O_5

- Vypírání SO_3 pomocí H_2SO_4 v absorbéru

Cat-Ox (Japan)



Cat-Ox

Použitelné u nově postavených energetických jednotek
– vyžaduje speciální elektroodlučovač pracující při vysoké T

U starších jednotek musí být mezi elektroodlučovač a reaktor zařazeno přihřívání spalin

Výhoda:

- ↳ poměrná jednoduchost
- ↳ nižší provozní náklady při účinnosti ~ 90%

Nevýhoda:

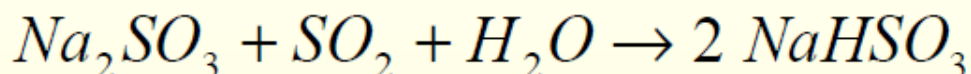
- ↳ vysoká náročnost na materiály nutnost dokonalého odprášení spalin – ovlivnění životnosti katalyzátoru

Regenerativní metody

- Regenerace činidla
- Malé rozšíření

Natrium-sulfitová metoda (metoda Wellmann-Lord)

- Reakce v absorbéru



- Regenerace v odparce
- Využití SO_2
- Vstupní suroviny: $NaOH$ nebo Na_2CO_3
- Nejrozšířenější regenerativní metoda

Změna teploty spalin

Ochlazení neodsířených a dohřev odsířených spalin

- Regenerativní výměníky tepla
- Rekuperativní výměníky tepla
- Menší zdroje – ve výměníku tepla vnějšími zdroji

Chladicí věže s přirozeným tahem

- Bez dohřevu spalin, spalinového ventilátoru a komína
- Odpar skrápěcí vody

Ohřev spalin

Z hlediska dosažení dostatečného rozptylu spalin je třeba zajistit aby vstupem do komína měly určitou **minimální teplotu**
⇒ $T \sim 70 - 80^{\circ}\text{C}$

A: ohřev spalin mísením s horkými neodsířenými spalinami

B: nepřímý ohřev parou či horkou vodou

C: ohřev spalováním paliv s nízkým obsahem S ve spalovací komoře a zavedení těchto horkých spalin k chladným odsířeným spalinám

- ↳ Jednoduché
- ↳ Problémy s emisemi
- ↳ Neekonomické způsoby
- ↳ Vysoká spotřeba energie

Nahrazovány výměníky spaliny – spaliny

Regenerativní způsob ohřevu spalin

Rotační výměník tepla spaliny – spaliny:

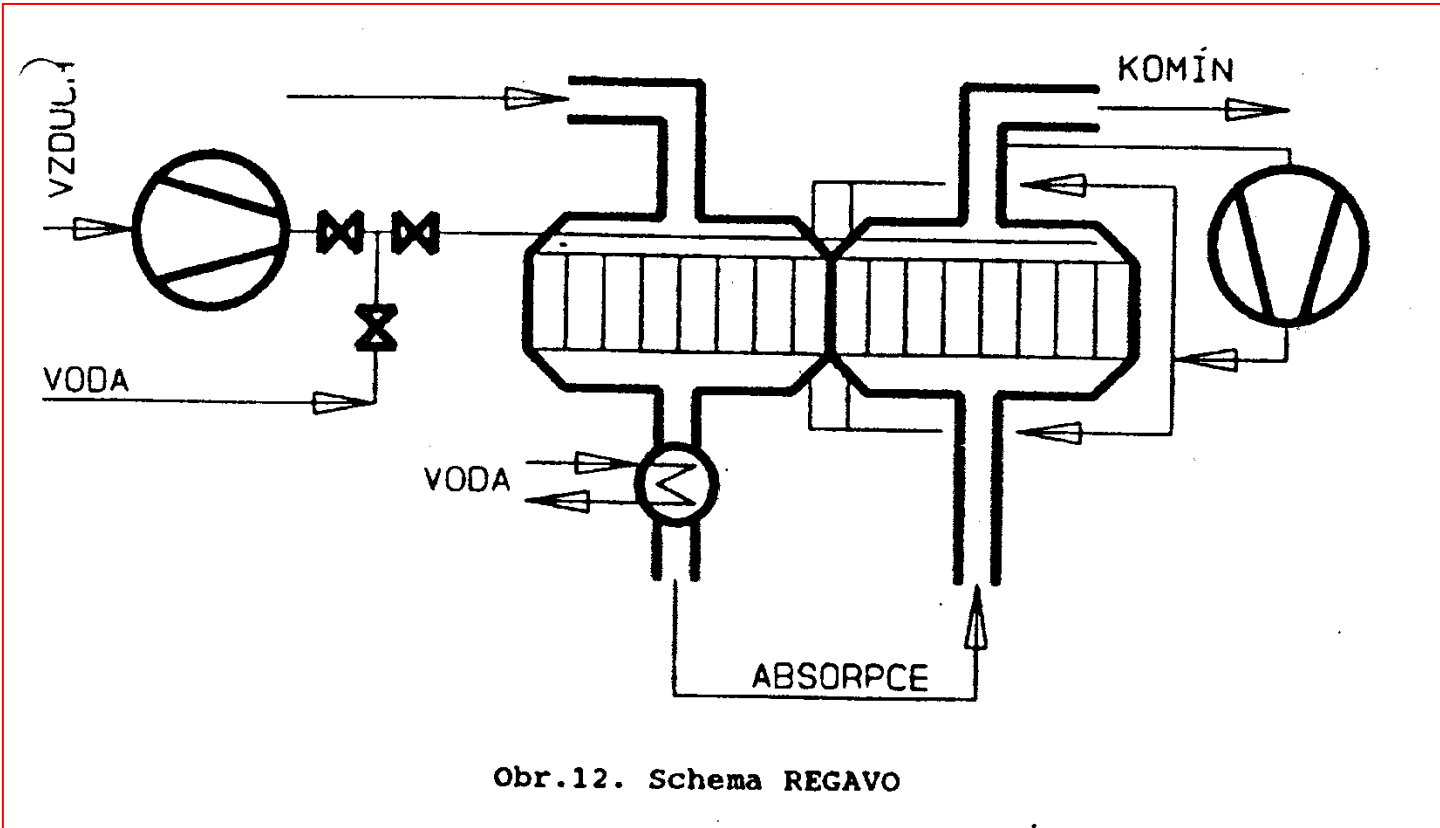
- ↳ Energetika – Ljungström
- ↳ Odsířování – Regavo

Přenos tepla – plochy z plechu se speciální antikorozní úpravou nebo z plastu, které se pomalu pohybují mezi zónou horkých a studených spalin a předávají studeným spalinám teplo, naakumulované od horkých spalin.

Podmínka ohřevu spalin – úplné odpaření veškerého únosu kapaliny.

Pro úplné odpaření využití tepla části neodsířených nebo odsířených a ohřátých spalin.

REGAVO

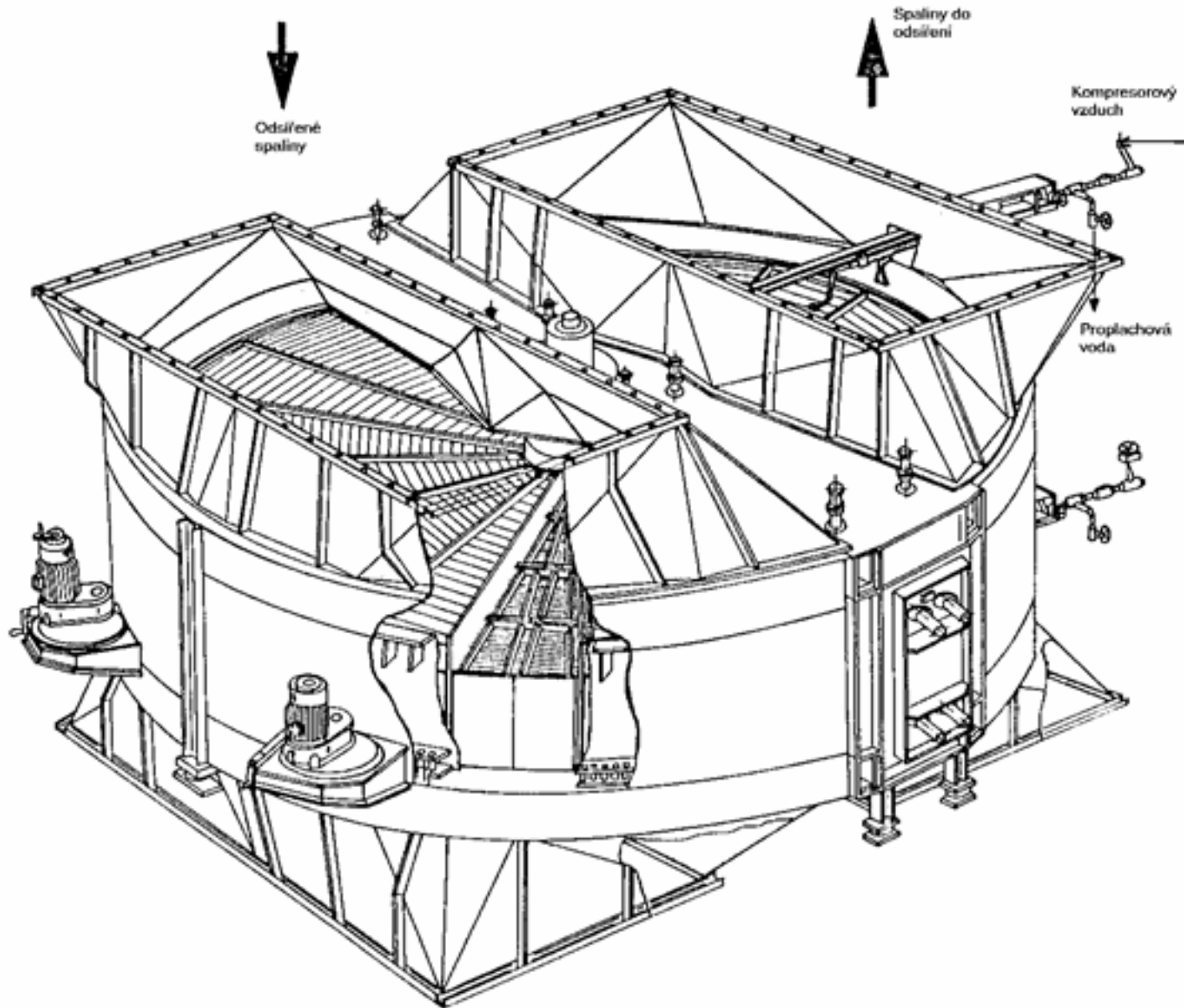


Obr.12. Schema REGAVO

Rotor - 0,75 –1,0 otáček min⁻¹

Čistící systémy: tlakový vzduch + tlaková voda (4-10 MPa) – odstranění usazenin – pravidelné

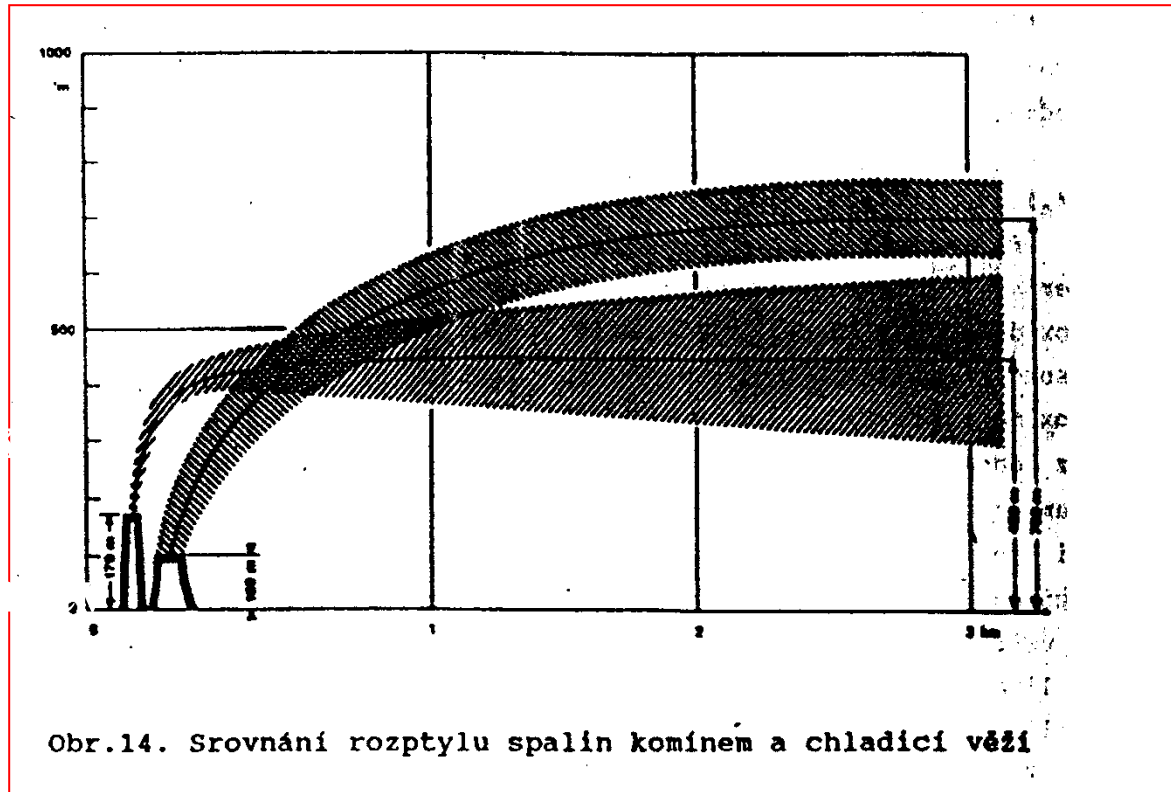
Obr. 22 Regenerativní výměník tepla



Využití chladících věží k rozptylu škodlivin

Tepelný impuls vzduchu v chladící věži je mnohonásobně větší než u spalin a vede k vynášení množství vzduchu, které 25x převyšuje množství spalin.

Smíšení spalin se vzduchem v chladící věži vede k dokonalejšímu rozptylu.

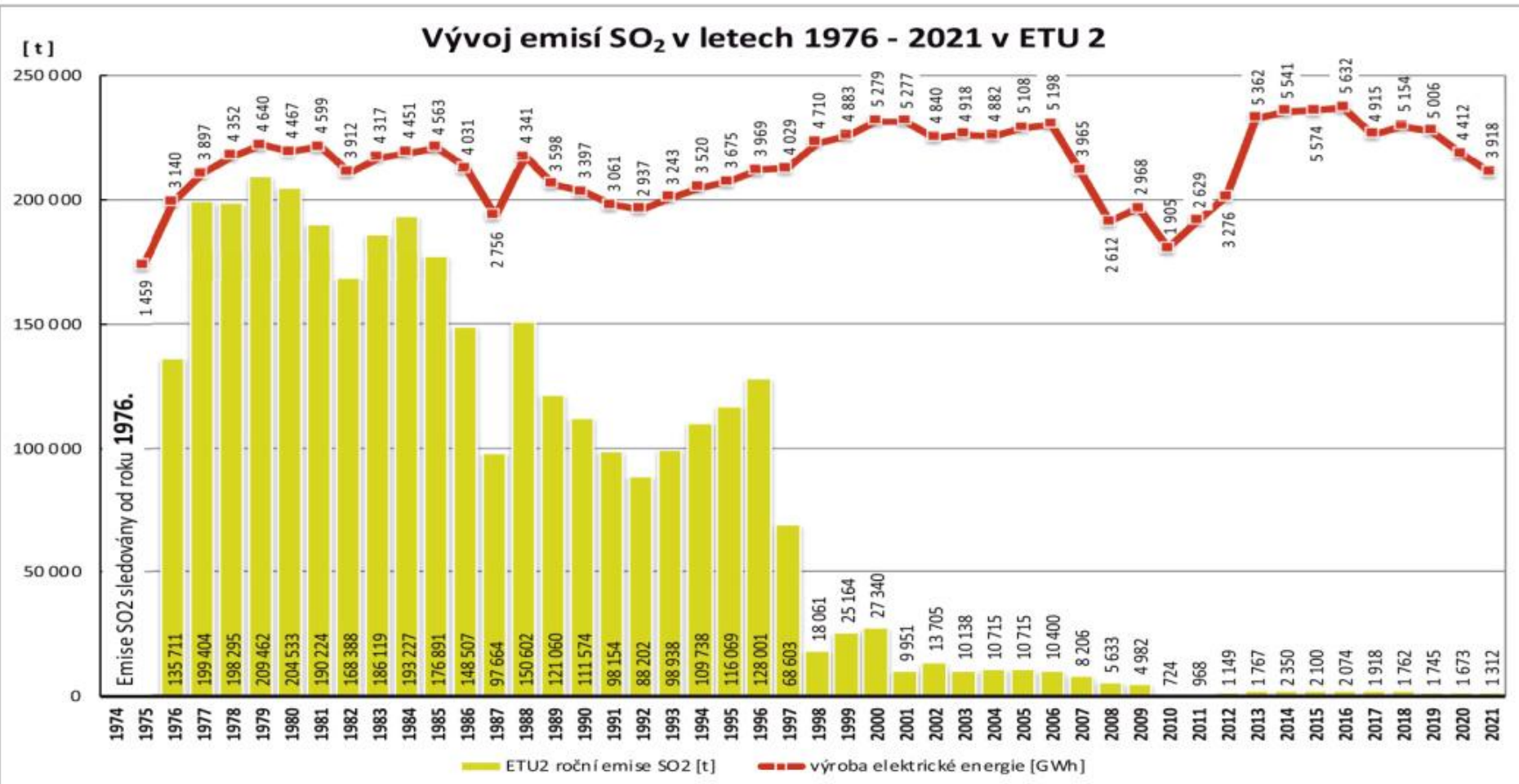


Elektrárna Tušimice



Elektrárna Tušimice

Vývoj emisí SO₂ v letech 1976 - 2021 v ETU 2



Kombinovaný proces pro čištění spalovacích plynů

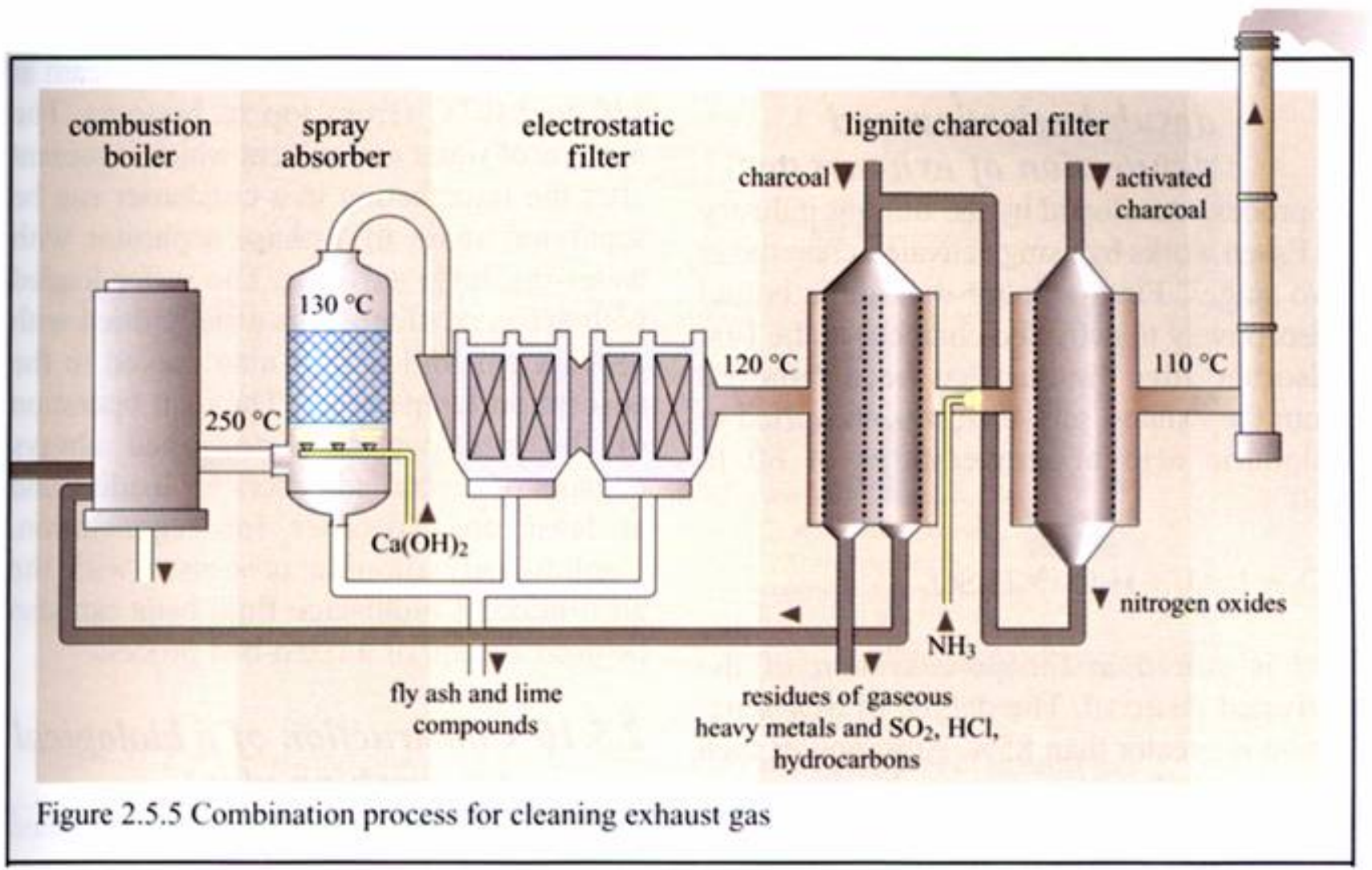
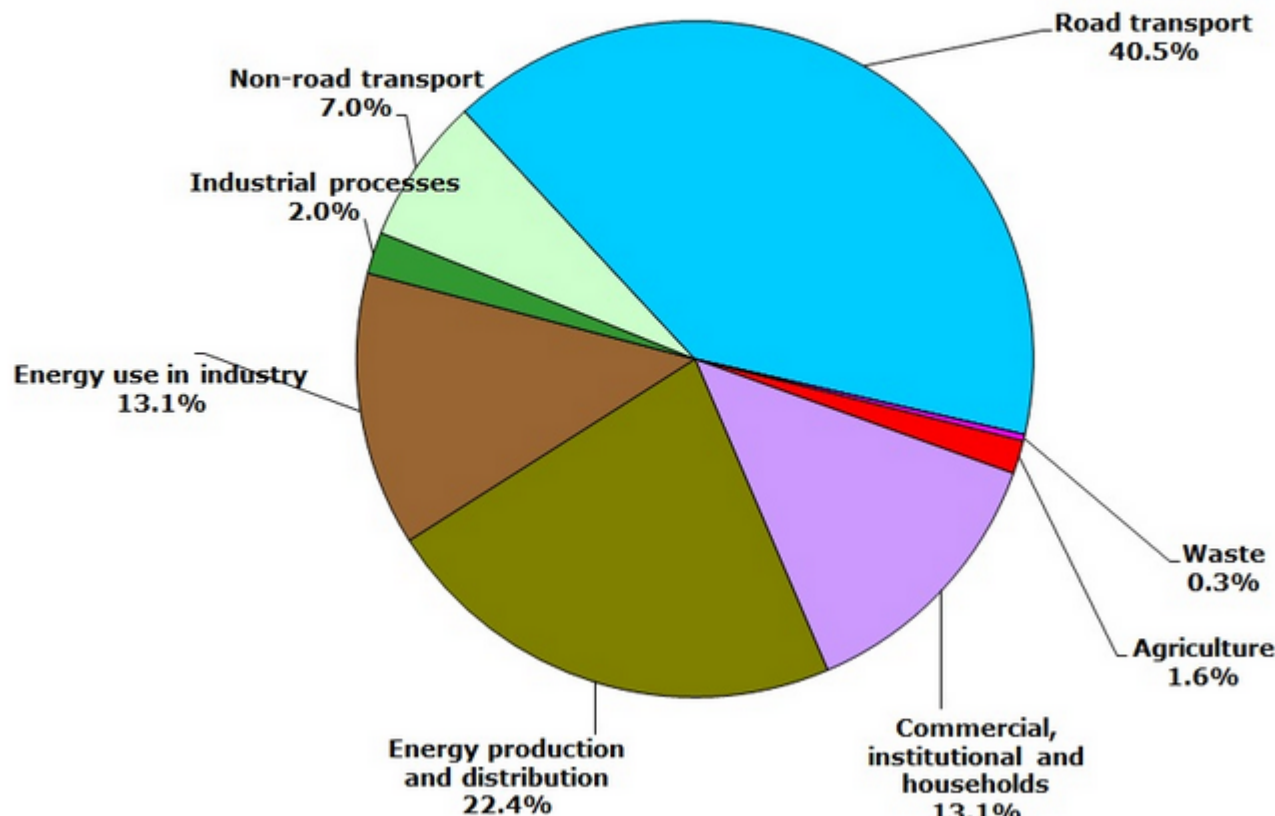


Figure 2.5.5 Combination process for cleaning exhaust gas

Denitrifikace

Fig. 4: Sector share of nitrogen oxides emissions (EEA member countries)



Note: The contribution made by different sectors to emissions of nitrogen oxides in 2010.

Dle směrnice EU (platné od 2020)

- zdroje nad 50 MW – emise NOx <200 mg/ m³

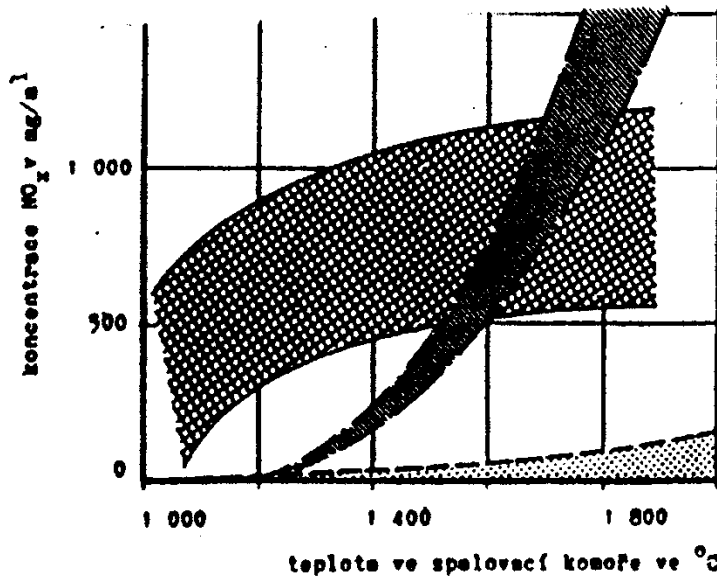
Mechanismus vzniku NO_x při spalovacím procesu

Vysokoteplotní – radikálové reakce

$\text{N} + \text{O}$ uvnitř spalovací zóny –
tvorba radikálů je podmíněna
vysokou $T =$ funkce (T ,
koncentrace kyslíku, době
zdržení v horké zóně)

Palivové NO_x – oxidace dusíku
chemicky vázaného v palivu –
oxidace není kvantitativní
- % nezreagovaného N_2 v palivu
- při spalování uhlí - 10-25 %,
topné oleje i více %

Promptní NO_x - určitá forma
palivových NO_x – okraj
plamene - zanedbatelný podíl
na celkovém NO_x



Obr.15. Tvorba jednotlivých typů NO_x při spalování uhlí

Spalování kapalných paliv:

vysokoteplotní – stejné jako u tuhých
palivové – pouze u těžších frakcí (TTO, mazut)

Spalování plynných paliv – pouze vysokoteplotní

Snižování emisí NO_x úpravou spalovacího procesu

Primární opatření

Vychází z poznatků o mechanismech vzniku NO_x



Typ spalovacího zařízení, způsob jeho provozování.

Významnější a levnější než následná denitrifikace spalin
(sekundární opatření)

Častá kombinace primárních a sekundárních opatření

Primární opatření k omezování emisí NO_X

Primární opatření k omezení emisí oxidů dusíku.

| Primární opatření | Obvyklý podíl snížení NO _x | Omezení použitelnosti | Poznámky |
|-----------------------------------|---------------------------------------|--|---|
| Nízký přebytek vzduchu | 10–44 % | nedokonalé spálení | omezení NO _x značně závisí na výši emisí z kotle (např. když je třeba izolovat toopeniště, mlýny a ohříváče vzduchu nebo umožnit využití spalování s nízkým přebytkem vzduchu) |
| Odstupňování vzduchu v toopeništi | hořák mimo provoz | 10–65 % 40 % u uhlí 45 % u oleje 65 % u plynu | nedokonalé spálení (vysoké hodnoty CO a nespáleného uhlíku pouze při rekonstrukci) |
| | sekundární přehřátý vzduch | | rekonstrukce pro přehřátý vzduch u stávajícího kotle znamená modifikaci vodního potrubí stěn |

Možnosti snižování tvorby NO_x

- ↳ Snížení teploty hoření
- ↳ Snížení lokální koncentrace O₂
- ↳ Snížení doby zdržení

Plynové hořáky:

- ↳ atmosférické
- ↳ tlakové

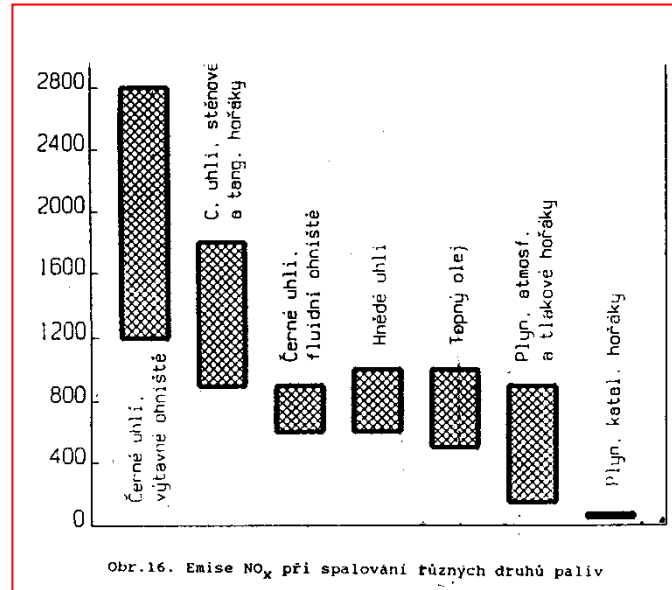
Snižování emisí NO_x úpravou spalovacího procesu

Typ topeniště

- ↳ konstrukce
- ↳ stav

Uhelné kotle (klesající emise NO_x):

- ↳ výtavné ($1\ 600 - 2\ 800 \text{ mg.m}^{-3}$)
- ↳ se stěnovými hořáky ($1\ 000 - 1\ 700 \text{ mg.m}^{-3}$)
- ↳ s tangenciálními hořáky ($800 - 1\ 200 \text{ mg.m}^{-3}$)
- ↳ fluidní (do 800 mg.m^{-3})



Rozhodující vliv – teplota hoření (nejvyšší výtavné) rychlosť uvolnení tepla v zóně hoření

Snižování emisí NO_x úpravou spalovacího procesu

Spalování s nízkým přebytkem vzduchu

Snížením množství spalování vzduchu se dosáhne snížení teploty plamene

Nenáročný zásah, nevyžaduje žádné úpravy na zařízení

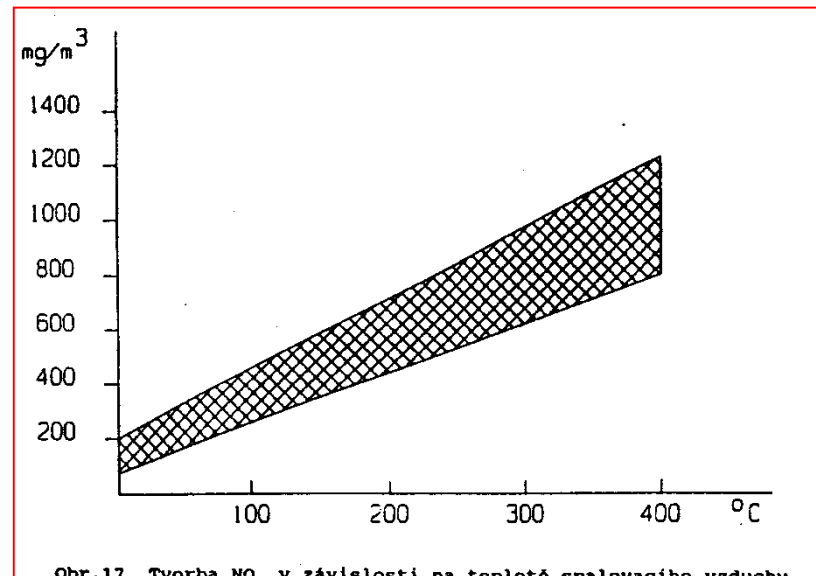
Nelze je použít u elektrárenských kotlů s optimalizovaným spalovacím poměrem

Efekt není příliš významný, nevyváží nevýhody

- ↳ tvorby sází
- ↳ koroze u redukční atmosféry
- ↳ zvýšená produkce CO
- ↳ ztráty nedopalem

Snížení předehřevu spalovacího vzduchu

Nenáročnost na technologické směny,
nízký efekt - snížení tepelné
účinnosti, ztráty nedopalem problémy
s hořením



Možnosti snižování tvorby NO_x

Atmosférické hořáky:

Injekčním účinkem nasávají vzduch

Domácí spotřebiče a zařízení malého až středního výkonu (do cca 400 kW)

- ↳ jednoduchá konstrukce
- ↳ nezávisí na jiném zdroji energie
- ↳ velký regulační rozsah
- ↳ bezhlučný chod

Nevýhoda z hlediska emise NO_x – nestechiometrický typ plamene daný podstechiometrickým předmísením paliva
Větší doba zdržení \Rightarrow vyšší tvorba $\text{NO}_x \Rightarrow$ snížení T plamene – lepší předmísení

Možnosti snižování tvorby NO_x

Nestechiometrické spalování

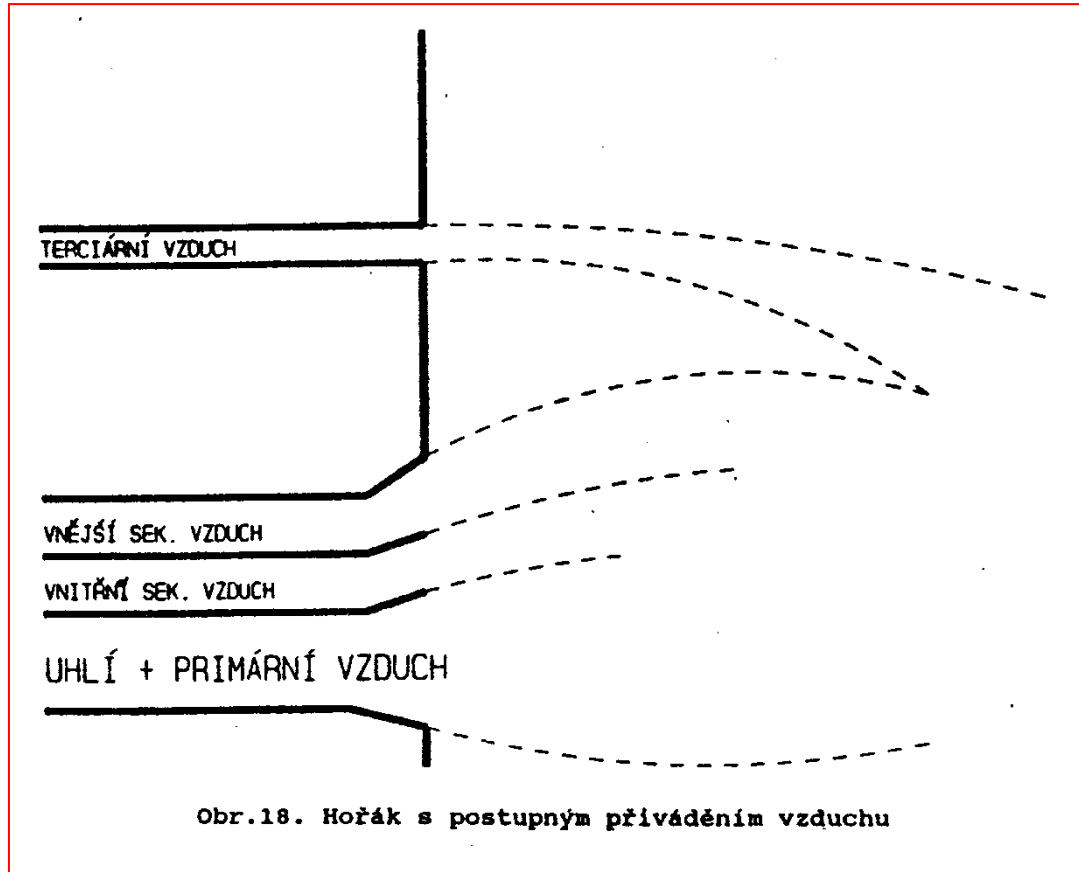
Dávkování spalovacího vzduchu ve dvou úrovních

- 1) proběhne spalování za nedostatku vzduchu a tedy při nízké teplotě
- 2) zbytek paliva a zplodiny nedokonalého spalování se spálí v relativním přebytku vzduchu

Hořáky na nízký obsah NO_x

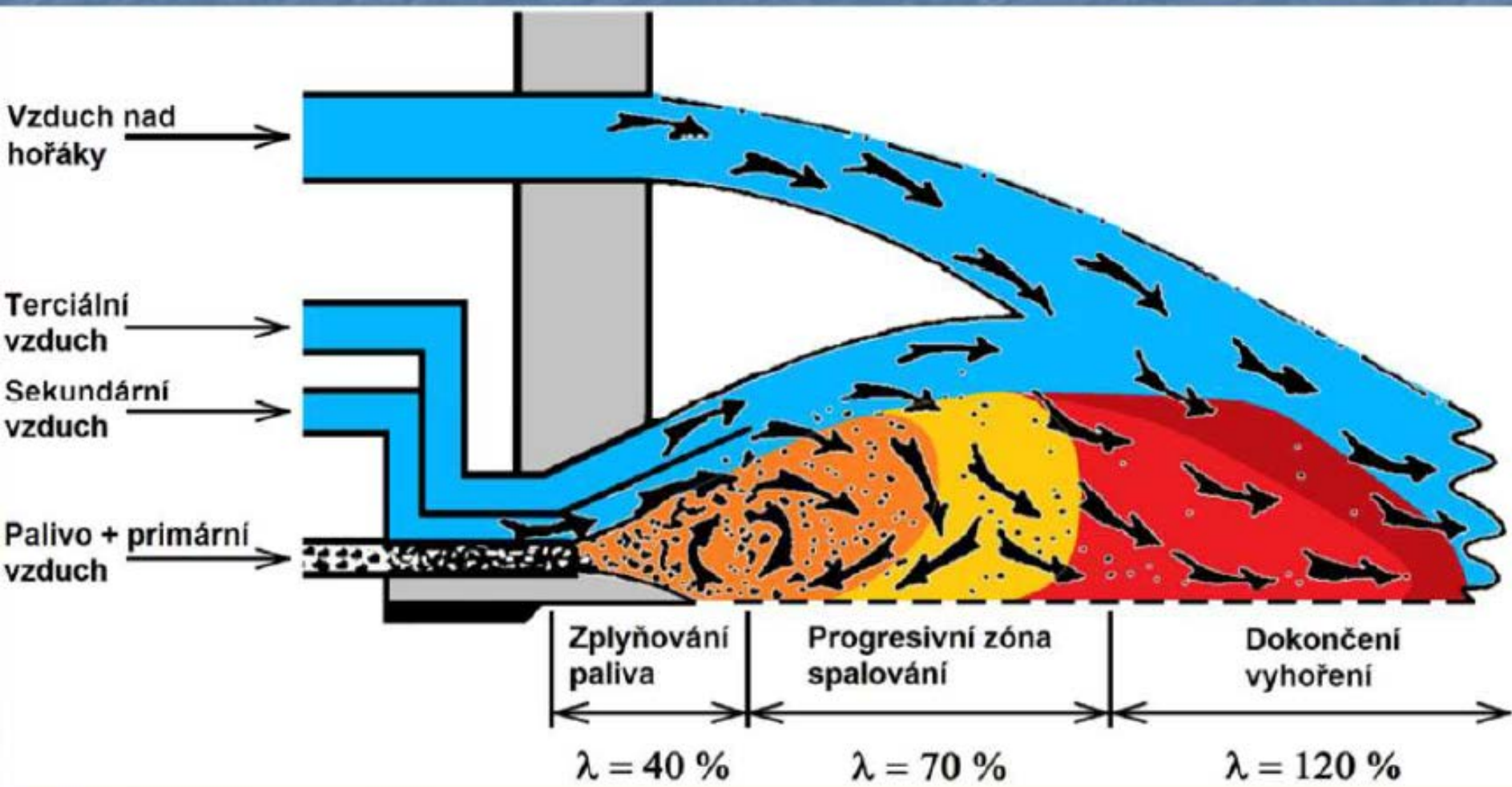
Hořáky na tuhá paliva

Hořák s postupným přiváděním vzduchu:

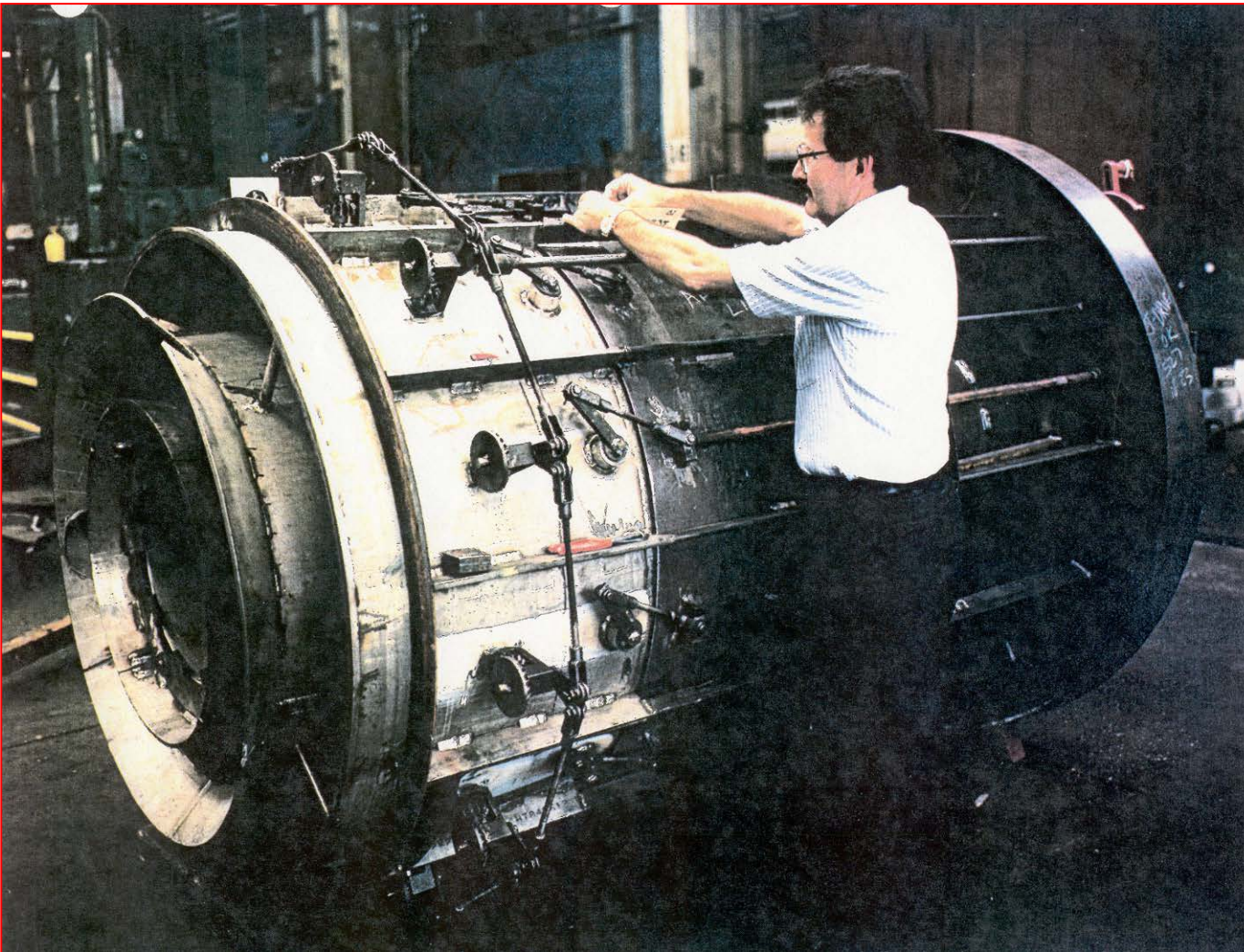


Princip nízkoemisního hořáku

- při spalování plynu a práškového černého uhlí je snaha řešit postupný přívod vzduchu přímo v hořáku



Hořáky na nízký obsah NO_x



Možnosti snižování tvorby NO_x

Recirkulace spalin

Odběr části spalin za ekonomizér a jejich zavedení zpět do topeniště, tím se dosáhne:

- ↳ snížení obsahu kyslíku
- ↳ snížení teploty

Nejúčinnější – míchání spalin do spalovacího vzduchu

Snížení účinnosti spalování

50% snížení emise NO_x

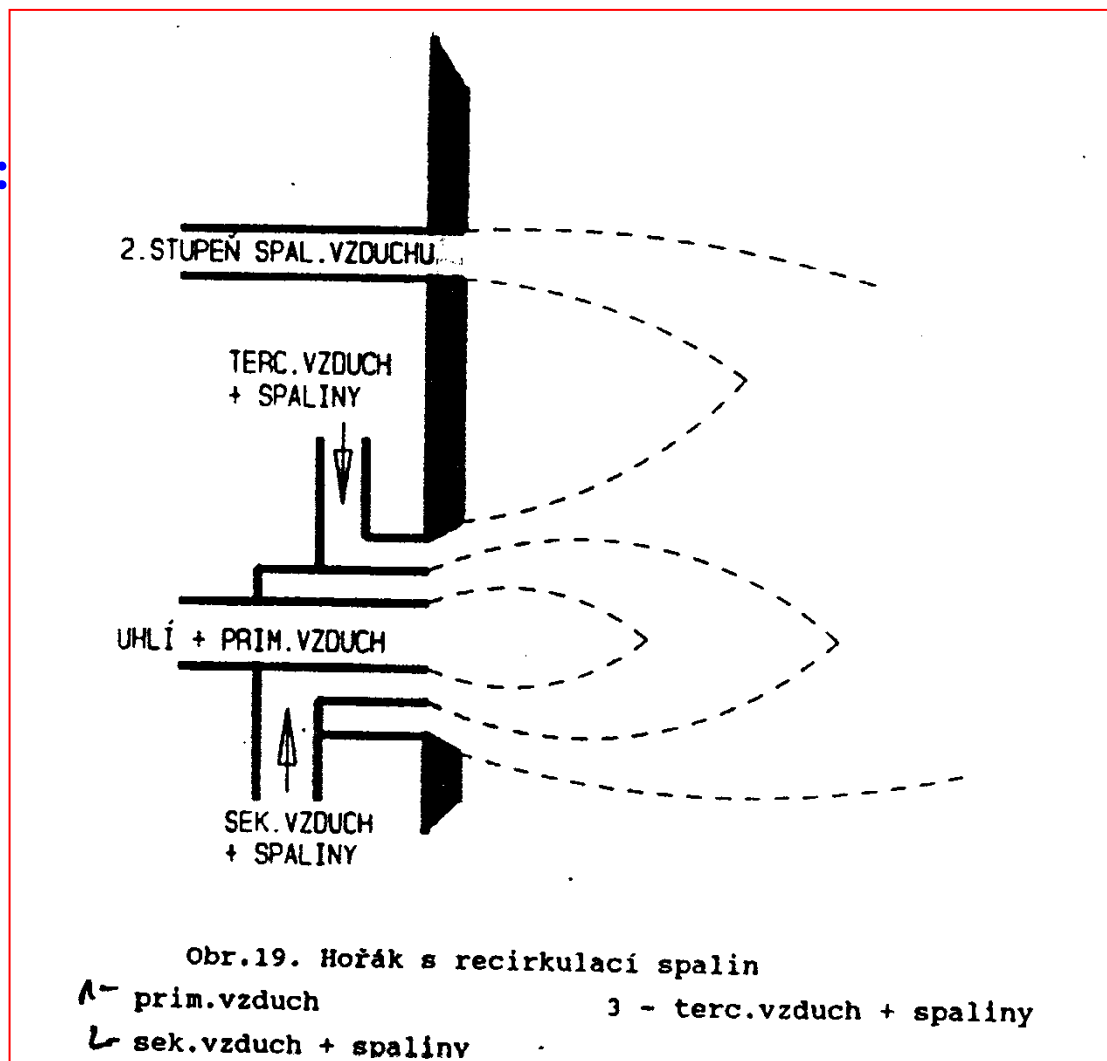
Hořáky na nízký obsah NO_x

Hořáky na tuhá paliva

Hořák s recirkulací spalin:

V primární zóně shoří prchavá hořlavina a palivový N přejde do plynné fáze

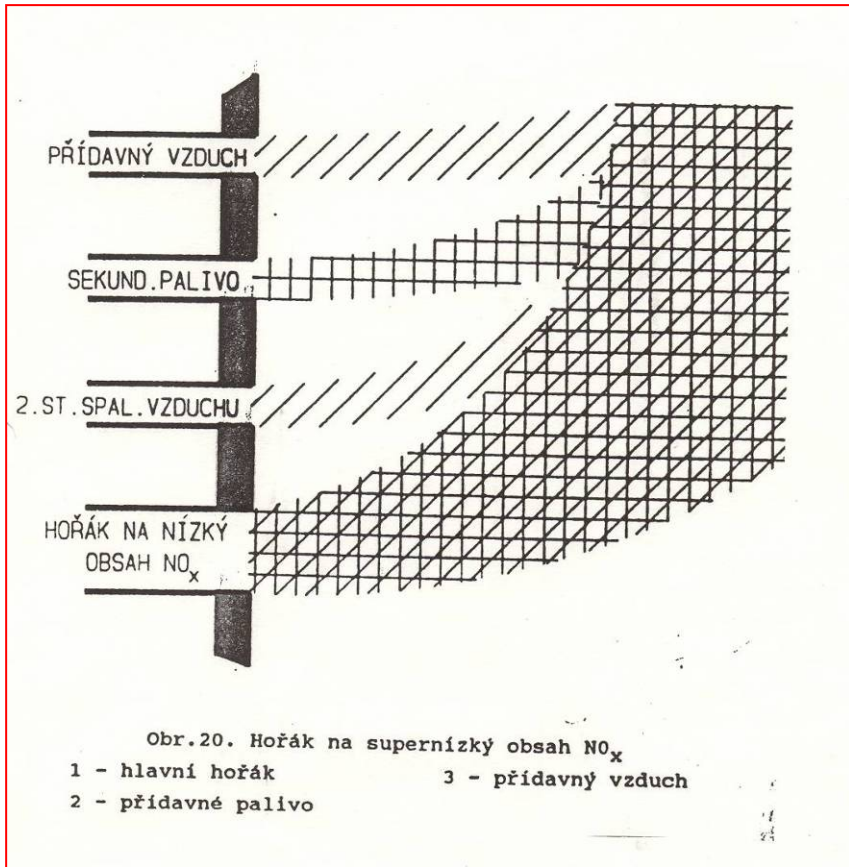
Sekundární – shoří většina paliva – v redukční atmosféře přecházejí NO_x na N₂



Hořáky na nízký obsah NO_x

Hořáky na tuhá paliva

Hořák na supernízký obsah NO_x:

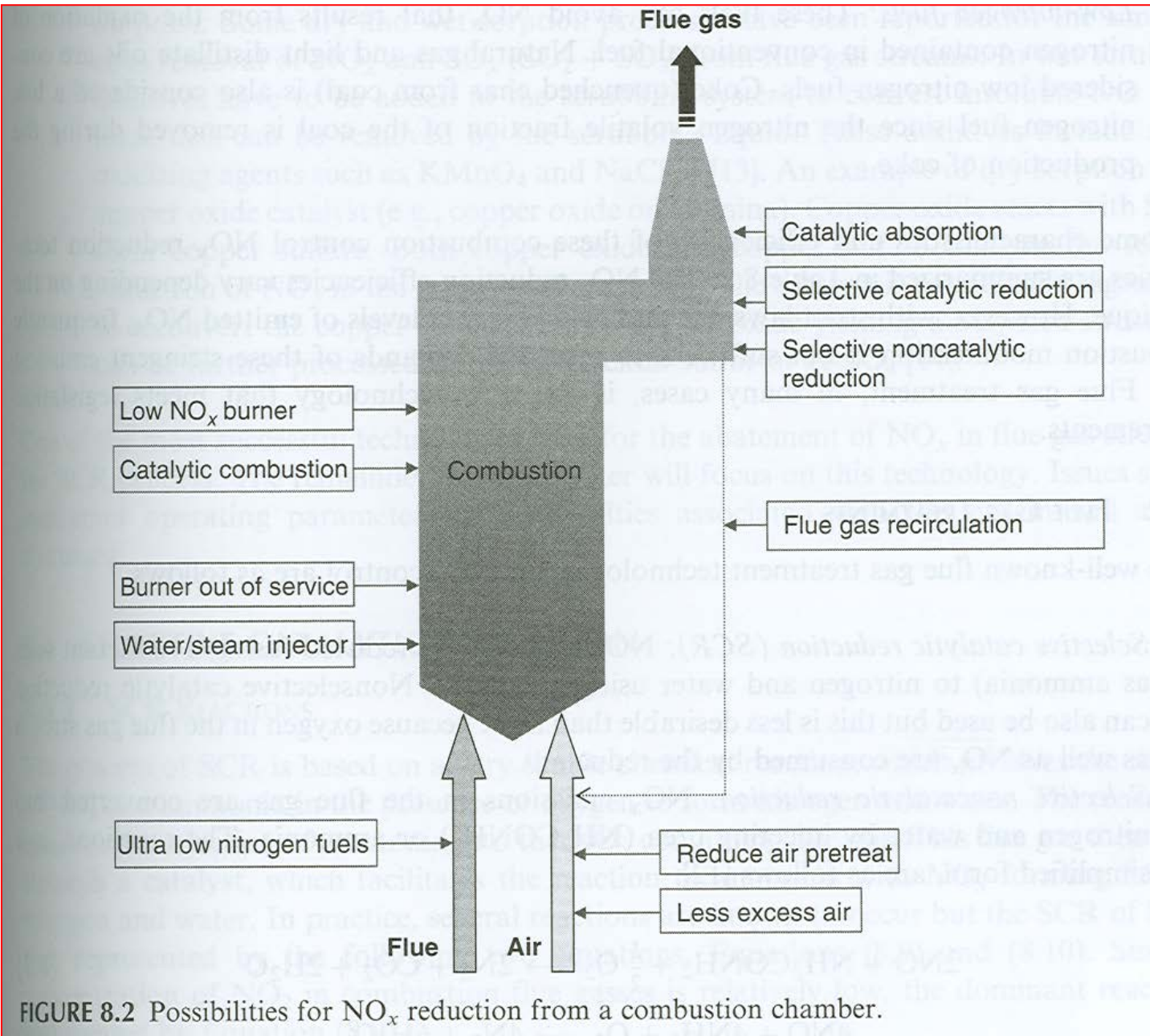


Dalších 30% $\Rightarrow < 200 \text{ mg NO}_x \cdot \text{m}^{-3}$

Odpadá nákladná denitrifikace
(pouze u nových jednotek)

Fluidní spalování – vícestupňové
postupné zavádění spalovacího
vzduchu a tlakové – srovnatelné
s hořáky na supernízký obsah
NO_x

Přehled možností pro redukci tvorby NO_x



Sekundární opatření k omezování emisí NO_x

Selektivní katalytická redukce (SCR). Údaje v tabulce označené: VP = vysoká koncentrace prachu; KP = nízká koncentrace prachu.

| Obvyklý podíl redukce NO _x | Parametr | Hodnota |
|---------------------------------------|---|------------------------------------|
| 80–95 % | provozní teplota | 320–420 °C (VP) 260–320 °C (KP) |
| | redukční činidlo | čpavek, močovina |
| | podíl NH ₃ / NO _x | 0,8–1,0 |
| | únik NH ₃ | < 20 mg/m ³ (n.t.t.) |
| | využitelnost | > 98 % |
| | podíl konverze SO ₂ / SO ₃ v katalyzátoru | 1,0–1,5 % (KP) |
| | spotřeba energie (% elektrického výkonu) | 0,5 % (VP) 2 % (KP) |
| | tlaková ztráta v katalyzátoru | 4–10 hPa |

Sekundární opatření k omezování emisí NO_x

Selektivní nekatalytická redukce (SNCR).

| Obvyklý podíl redukce NO _x | Parametr | Hodnota |
|---------------------------------------|--|------------------|
| 30–50 (80) % | provozní teplota | 850 až 1050 °C |
| | redukční činidlo | čpavek, močovina |
| | podíl NH ₃ / NO _x | 1,5–2,5 |
| | využitelnost | > 97 % |
| | spotřeba energie (% elektrického výkonu) | 0,1–0,3 % |
| | čas prodlevy v teplotním pásmu | 0,2–0,5 s |

Denitrifikační metody

Nejrozšířenější – selektivní katalytická redukce

Suché metody

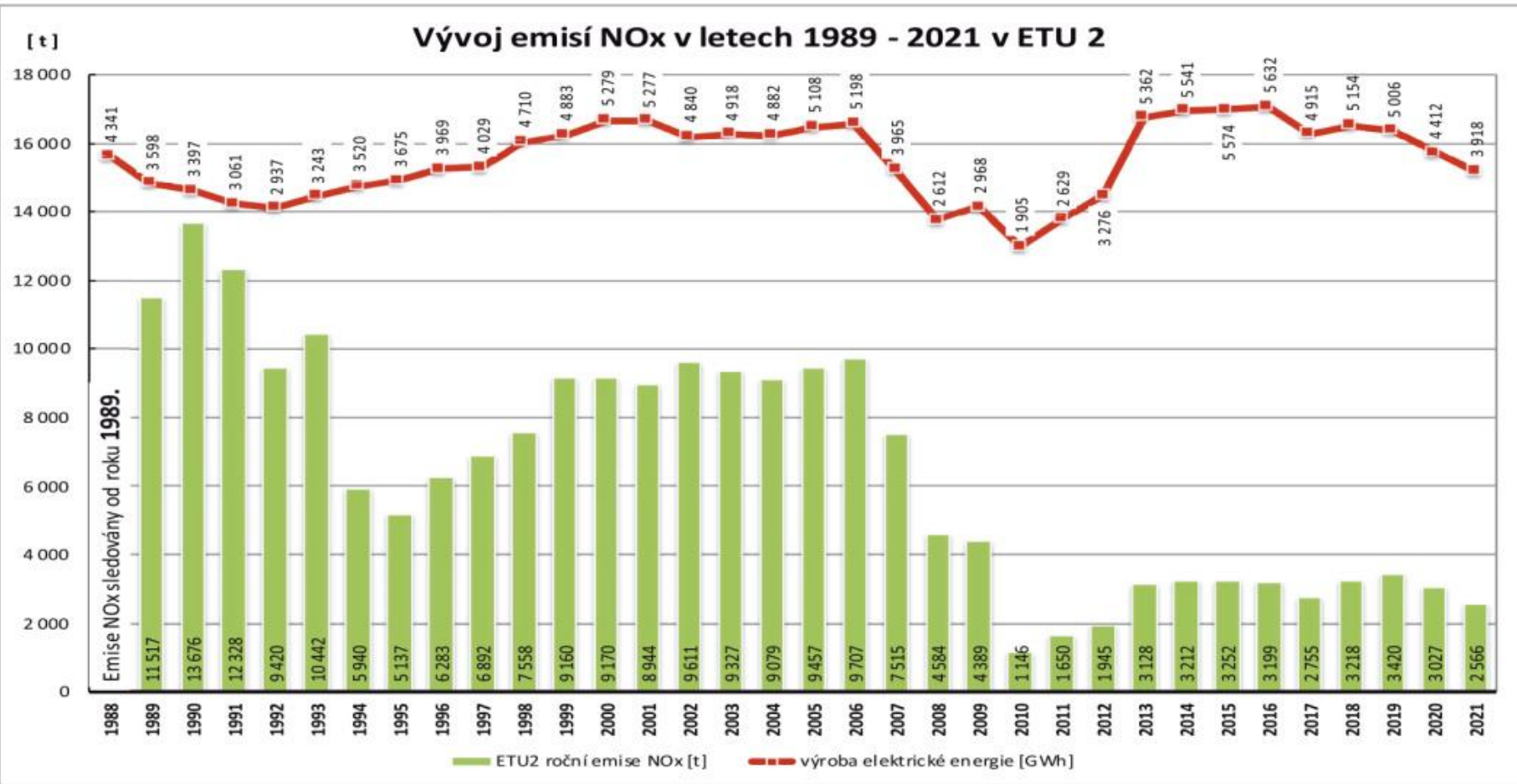
Selektivní katalytická redukce (SKR) - princip:

Reakce NO_x s NH_3 (g) – dávkování do spalin



$T > 300^\circ\text{C}$, katalyzátor

Denitrifikace spalin v elektrárně Tušimice II



Denitrifikace Elektrárny Dětmarovice pomocí technologie selektivní katalytické redukce

Díky společnosti Vítkovice Power Engineering (VPE) Elektrárna Dětmarovice vypouští do ovzduší výrazně méně emisí dusíku (NO_x). Modernizaci dvou černouhelných kotlů Elektrárny Dětmarovice (EDĚ) dokončila v polovině roku 2015 a předala provozovateli do užívání. Nižších emisí oxidu dusíku jsme dosáhli využitím kombinací primárních a sekundárních opatření. Obnova kotlů K3 a K4 vedla ke snížení emisí oxidu dusíku (NO_x) pod limitních 200 mg/Nm³, které od nového roku vstoupila v platnost pro velké znečišťovatele, z původní průměrné hodnoty emisí oxidu dusíku pohybujících se na hranici 450 mg/Nm³. Jako jedni z prvních v tuzemsku jsme použili pro sekundární opatření technologii takzvané selektivní katalytické redukce (SCR).

ZÁKLADNÍ POPIS PROJEKTU

Použitá technologie SCR sníží emise oxidu dusíku již vytvořené během spalování paliva uvnitř kotle. Spaliny vzniklé spalováním uhlí, do nichž se technologií SCR řízeně dávkují vodný roztok čpavku, jsou přivedeny do katalyzátoru, kde probíhá finální chemická reakce. Rozdíl mezi SCR a dosud častěji užívanou nekatalytickou metodou SNCR je v tom, že metoda SCR zaručí požadované emisní limity během dalšího provozování kotlů s výrazně nižším zbytkovým obsahem čpavku ve spalinách.

Součástí činností na akci denitrifikace kotlů 3 a 4 na elektrárně Dětmarovice byla i primární opatření na uvedených kotlích zahrnující zejména optimalizaci spalovacího procesu, byla nově provedena recirkulace spalin a dále byla provedena úprava a doplnění systému dohořívacího vzduchu.



Denitrifikační metody

Selektivní katalytická redukce

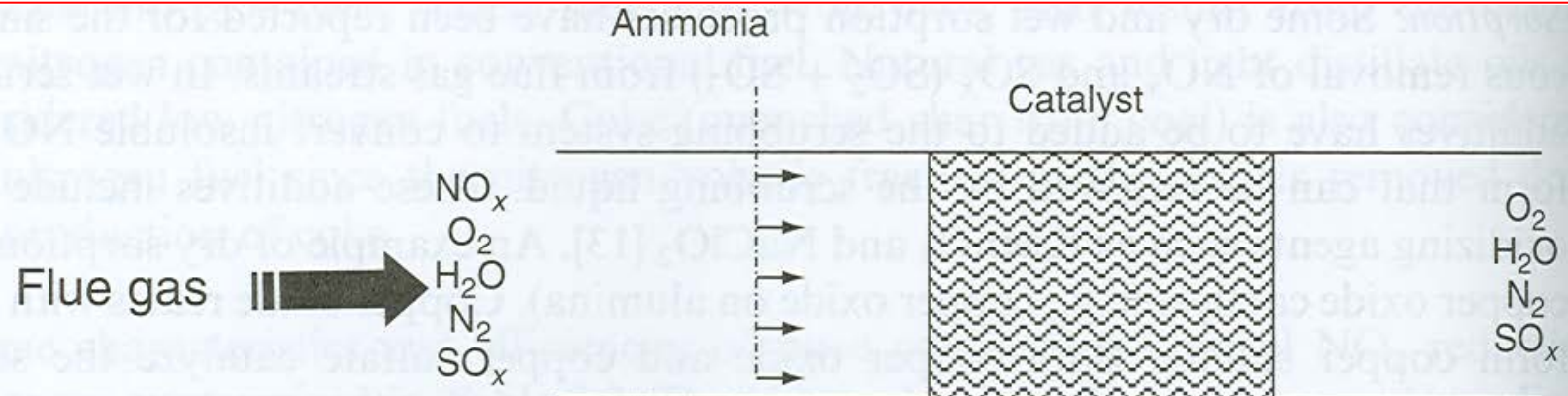


FIGURE 8.3 Simple schematic of SCR reactor.

Denitrifikační metody

Katalytická redukce NO_x

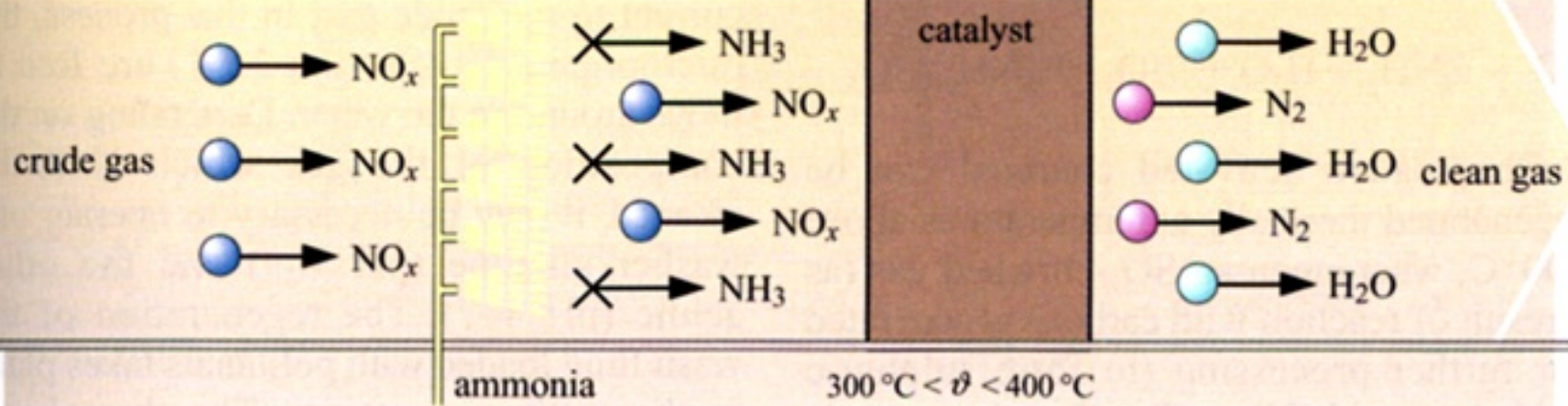
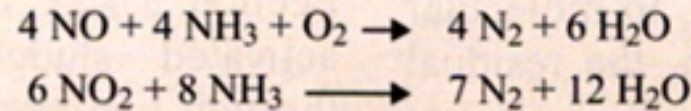
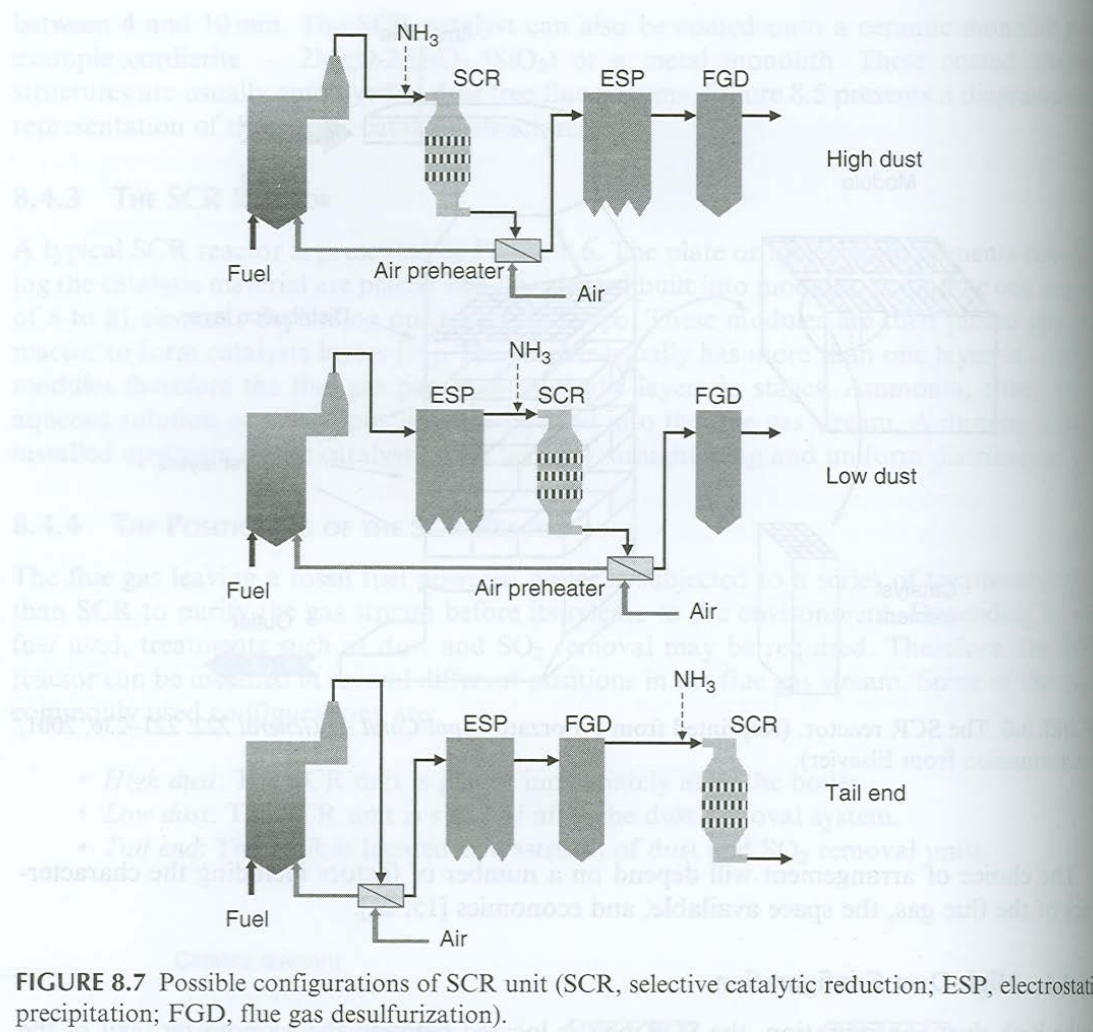


Figure 2.5.6 Catalytic NO_x reduction

Denitrifikační metody

Katalytická redukce NOx



Katalyzátor:

Nosič: TiO_2 na keramické kostře (původně Al_2O_3 – SO_2 katalytický jed + V_2O_5)

Životnost:

Plyn – 5 – 7 let
Uhlí – 3

T optimum ~ 350° C

- nižší klesá účinnost
- vyšší – oxidace $\text{SO}_2 \rightarrow \text{SO}_3$

Koroze ⇒ musí být trvale v provozu (300 °C)

Usazování NH_4HSO_4

Proces současné desulfurace a denitrifikace

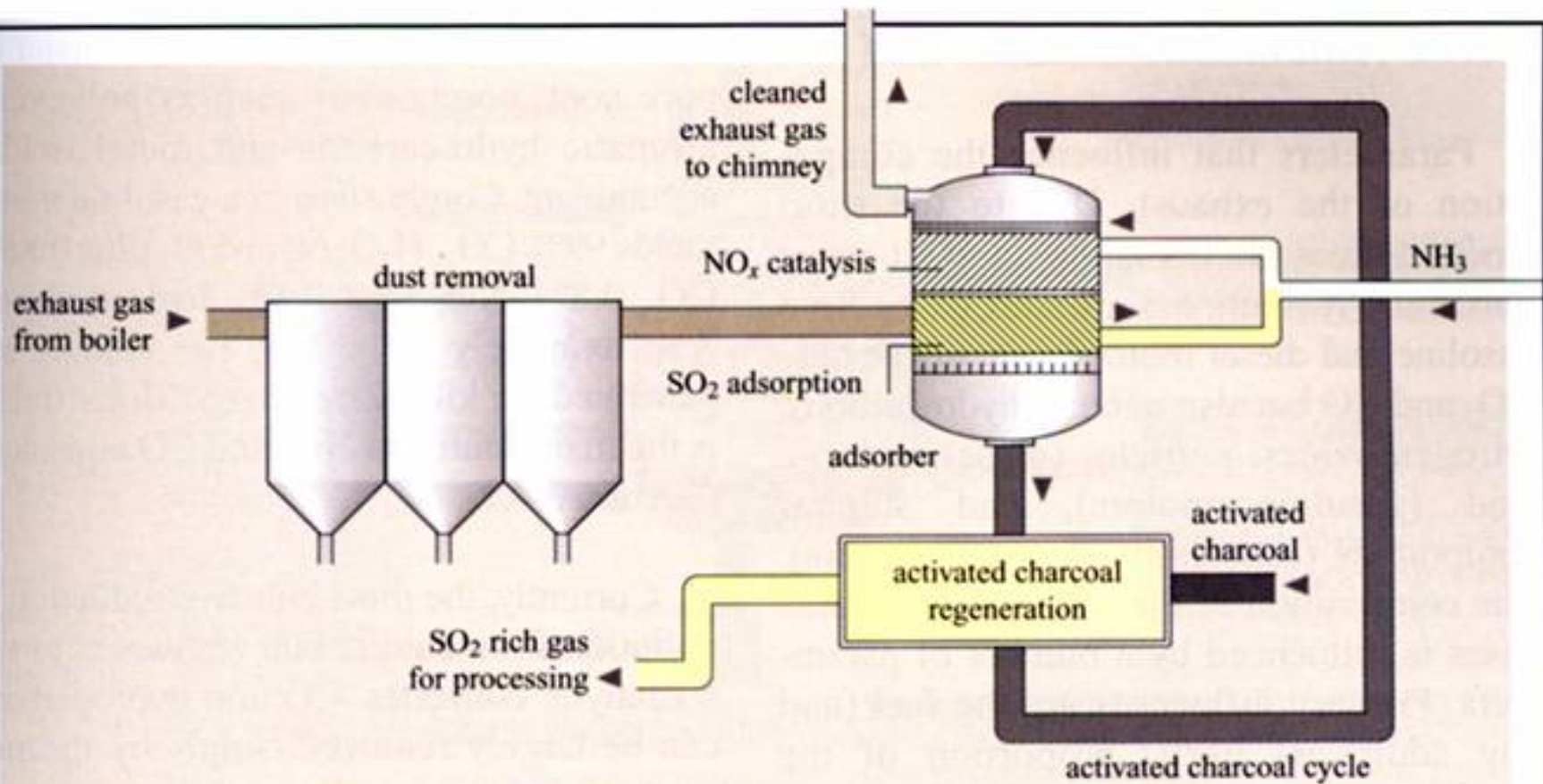


Figure 2.5.8 Simultaneous processes for desulphurisation and denitration of exhaust gas